

SVEUČILIŠTE U ZAGREBU  
FAKULTET STROJARSTVA I BRODOGRADNJE

# ZAVRŠNI RAD

**Ante Liović**

Zagreb, 2014.

SVEUČILIŠTE U ZAGREBU  
FAKULTET STROJARSTVA I BRODOGRADNJE

# ZAVRŠNI RAD

Mentori:

Prof. dr. sc. Neven Pavković

Student:

Ante Liović

Zagreb, 2014.

Izjavljujem da sam ovaj rad izradio samostalno koristeći stečena znanja tijekom studija i navedenu literaturu.

Zahvaljujem se prof. dr. sc. Nevenu Pavkoviću što je pristao biti moj mentor, te se zahvaljujem obitelji i prijateljima bez čije pomoći i podrške ovaj završni rad nikada nebi bio napisan.

Ante Liović



**SVEUČILIŠTE U ZAGREBU**  
**FAKULTET STROJARSTVA I BRODOGRADNJE**



Središnje povjerenstvo za završne i diplomske ispite

Povjerenstvo za završne ispite studija strojarstva za smjerove:  
procesno-energetski, konstrukcijski, brodostrojarski i inženjersko modeliranje i računalne simulacije

Sveučilište u Zagrebu Fakultet strojarstva i brodogradnje	
Datum	Prilog
Klasa:	
Ur.broj:	

## **ZAVRŠNI ZADATAK**

Student: **Ante Liović** Mat. br.: 0035182581

Naslov rada na hrvatskom jeziku: **Traktorski viličar za izmjenu sklopova na kombajnu**

Naslov rada na engleskom jeziku: **Tractor mounted fork lift for combine harvester servicing**

Opis zadatka:

Za žetve različitih vrsta usjeva koriste se i različiti sklopovi na prednjem dijelu kombajna. Česte su situacije kada je potrebno brzo i efikasno zamijeniti ili postaviti te sklopove. Zbog velike težine sklopova mora se koristiti viličar ili dizalica. U ovom radu potrebno je koncipirati i konstruirati posebnu izvedbu viličara za podizanje i prihvatanje čije dimenzije će biti prilagođene mjestima i načinima prihvata na sklopovima kombajna. Viličar treba izvesti kao traktorski priključak, sa podesivim teleskopskim elementima, koristeći traktorsku hidrauliku kao pogon.

U radu treba:

- analizirati postojeće uređaje na tržištu, način priključka na traktor i parametre traktorskog pogona,
- koncipirati više varijanti rješenja, usporediti ih i vrednovanjem odabrati najpovoljnije,
- odabran projektno rješenje uređaja razraditi s potrebnim proračunima nestandardnih dijelova,
- izraditi računalni model uređaja i tehničku dokumentaciju u 3D CAD sustavu.

Pri konstrukcijskoj razradi obratiti pozornost na tehnološko oblikovanje dijelova. Analizirati kritična mesta. Opseg konstrukcijske razrade, modeliranja i izrade tehničke dokumentacije dogovoriti tijekom izrade rada.

U radu navesti korištenu literaturu i eventualno dobivenu pomoć.

Zadatak zadan:

11. studenog 2013.

Zadatak zadao:

*Neven Pavković*

Prof. dr. sc. Neven Pavković

Rok predaje rada:

1. rok: 21. veljače 2014.  
2. rok: 12. rujna 2014.

Predviđeni datumi obrane:

1. rok: 3., 4. i 5. ožujka 2014.  
2. rok: 22., 23. i 24. rujna 2014.

Predsjednik Povjerenstva:

*Igor Balen*

Prof. dr. sc. Igor Balen

## **SAŽETAK**

Tema ovog završnog rada je "Traktorski viličar za izmjenu sklopova na kombajnu". Tema je obrađena od ideje do tehničke dokumentacije. To znači da ovaj rad sadrži analizu tržišta i potreba kupaca, nekoliko koncepata mogućeg rješenja i detaljnu razradu odabranog koncepta za koji je proveden odgovarajući proračun. Izrađeni su model uređaja i tehnička dokumentacija u 3D CAD sustavu.

Ključne riječi: traktorski viličar; kombajn; hidraulika; stabilnost

## SADRŽAJ

SAŽETAK .....	I
SADRŽAJ .....	II
POPIS SLIKA .....	III
POPIS TEHNIČKE DOKUMENTACIJE .....	IV
POPIS OZNAKA .....	V
1. UVOD .....	1
2. TRAKTORI .....	2
3. KONCIPIRANJE .....	5
3.1. Određivanje zahtjeva - potrebe kupaca .....	5
3.2. Analiza tržišta .....	5
3.3. Određivanje ciljnih karakteristika .....	5
3.4. Funkcijska struktura .....	6
3.5. Morfološka matrica .....	7
3.6. Koncepti .....	8
3.6.1. Koncept 1 .....	8
3.6.2. Koncept 2 .....	9
4. PRORAČUN .....	11
4.1. Određivanje opterećenja .....	11
4.2. Proračun čvrstoće prihvavnih mjesta .....	12
4.2.1. Čvrstoća prihvavnih cijevi .....	13
4.2.2. Čvrstoća poluge .....	14
4.2.3. Čvrstoća prihvavnih limova .....	14
4.3. Proračun zavara poluge na klizač .....	15
4.4. Proračun zavara poprečne grede G2 na vertikalnu vodilicu V2 .....	17
4.5. Proračun zavara lima L1 na vodilicu V1 .....	17
4.6. Proračun zavara limova za spoj grede G2 i cilindra C1 .....	18
4.7. Proračun zavara limova za spoj grede G1 na centralni svornjak .....	18
4.8. Proračun zavara glavine centralnog svornjaka .....	19
4.9. Proračun zavara limova na centralni svornjak .....	20
4.10. Proračun svornjaka S1 .....	20
4.11. Proračun naprezanja i progiba grede G2 .....	22
4.12. Proračun i odabir cilindra C1 .....	22
4.13. Nosivi trokut za spajanje s traktorom .....	24
4.14. Proračun stabilnosti traktora .....	24
SKLAPANJE URĐAJA .....	26
ZAKLJUČAK .....	30
LITERATURA .....	31
PRILOZI .....	32

## POPIS SLIKA

Slika 1.	Komponente trozglobne poteznice .....	3
Slika 2.	Izgled stražnjeg kraja traktora .....	4
Slika 3.	Funkcijska struktura .....	6
Slika 4.	Morfološka matrica .....	7
Slika 5.	Koncept 1 .....	8
Slika 6.	Koncept 2 .....	9
Slika 7.	Položaj uvlačnog kanala na viličaru .....	11
Slika 8.	Tijelo oslobođeno veza .....	11
Slika 9.	Nacrt kanala s označenim mjestima prihvata .....	12
Slika 10.	Sila na cijev .....	13
Slika 11.	Prihvativni lim .....	14
Slika 12.	Prikaz sila na polugu Slika 13. Pojednostavljeni prikaz zavara .....	15
Slika 14.	Prikaz sila na zavar Slika 15. Pojednostavljeni prikaz zavara .....	17
Slika 16.	Pojednostavljeni prikaz zavara .....	17
Slika 17.	Prikaz sile na limove Slika 18. Pojednostavljeni prikaz zavara .....	18
Slika 19.	Sila na centralni svornjak .....	19
Slika 20.	Prikaz zavara limova na svornjak .....	20
Slika 21.	Sila na svornjak .....	20
Slika 22.	Proračunski model grede .....	22
Slika 23.	Katalog standardnih cilindara .....	23
Slika 24.	Prikaz modela za proračun stabilnosti .....	24
Slika 25.	Nosivi trokut .....	26
Slika 26.	Spoj nosivog trokuta i grede G1 .....	27
Slika 27.	Detalj spoja .....	27
Slika 28.	Sklop s dodanim klizačima i pripadnim cilindrima .....	27
Slika 29.	Sklop s montiranom gredom G2 .....	28
Slika 30.	Sklop s dodanim klizačima i pripadnim cilindrima na gredu G2 .....	28
Slika 31.	Prikaz sklopa s dodanim tzv. stabilizatorom .....	28
Slika 32.	Prikaz sklopa i uvlačnog kanala na njemu - bokocrt .....	29
Slika 33.	Prikaz sklopa i uvlačnog kanala na njemu - izometrija .....	29

## **POPIS TEHNIČKE DOKUMENTACIJE**

BROJ CRTEŽA Naziv iz sastavnice

2013/14\_01\_SKL1 Sklop

2013/14\_01\_NT1 Nosivi trokut NT1

2013/14\_01\_NG1 Nosiva greda NG1

2013/14\_01\_NG2 Nosiva greda NG2

2013/14\_01\_PG1 Pločica grede PG1

2013/14\_01\_PG2 Pločica grede PG2

2013/14\_01\_P1 Poluga P1

2013/14\_01\_S2 Svornjak S2

## POPIS OZNAKA

Oznaka	Jedinica	Opis
$A_C$	$\text{mm}^2$	površina poprečnog presjeka cijevi
$A_L$	$\text{mm}^2$	površina kritičnog presjeka prihvavnog lima
$A_{IIzav1}$	$\text{mm}^2$	površina poprečnog presjeka zavara
$A_{IIzav2}$	$\text{mm}^2$	površina poprečnog presjeka zavara
$A_{IIzav3}$	$\text{mm}^2$	površina poprečnog presjeka zavara
$A_p$	$\text{mm}^2$	površina kritičnog presjeka poluge
$A_{sv}$	$\text{mm}^2$	površina dodira između svornjaka i glavine
$A_{su}$	$\text{mm}^2$	površina dodira između dva svornjaka
$A_{zav}$	$\text{mm}^2$	površina poprečnog presjeka zavara
$A_{zavg}$	$\text{mm}^2$	površina poprečnog presjeka zavara
$A_{zavs}$	$\text{mm}^2$	površina poprečnog presjeka zavara
$A_{zavu}$	$\text{mm}^2$	površina poprečnog presjeka zavara
$B$	mm	promjer cilindra
$B$	kg	masa balasta
$D$	mm	vanjski promjer cijevi
$d$	mm	unutarnji promjer cijevi
$d_{sv}$	mm	promjer svornjaka
$E$	$\text{N/mm}^2$	modul elastičnosti
$e_1$	mm	najveća udaljenost presjeka od promatrane osi
$e_2$	mm	najveća udaljenost presjeka od promatrane osi
$F_{ah}$	N	horizontalna komponenta sile
$F_{av}$	N	vertikalna komponenta sile
$F_b$	N	sila reakcije na prihvavnje limove
$F_{CIL}$	N	sila u cilindru
$F_h$	N	sile u horizontalnom smjeru
$F_v$	N	sile u vertikalnom smjeru
$F_{vg}$	N	vlačna sila na prihvativni lim
$F_{vs}$	N	vlačna sila u svornjaku
$F_p$	kg	masa na prednjoj osovini
$F_{p,\%}$	%	postotak ukupne mase na prednjoj osovini
$f$	mm	progib grede
$G$	N	težina uvlačnog kanala
$g$	$\text{m/s}^2$	gravitacijska konstanta
$I_g$	$\text{mm}^4$	moment tromosti grede
$I_{zav1}$	$\text{mm}^4$	moment tromosti

$I_{zav2}$	$\text{mm}^4$	moment tromosti
$l_1$	mm	pola širine poluge
$l_2$	mm	širina poluge
$l_3$	mm	krak sile
$l_4$	mm	krak sile
$l_g$	mm	duljina grede
$l_{\text{kr}}$	mm	duljina kritičnog presjeka poluge
$M_A$	Nm	moment oko točke A
$M_{\max}$	Nm	maksimalni moment savijanja
$M_s$	Nm	moment oko točke S
$m_k$	kg	masa uvlačnog kanala
$p$	$\text{N}/\text{mm}^2$	radni tlak u cilindru
$p_1$	$\text{N}/\text{mm}^2$	površinski tlak između cijevi i poluge
$p_{\text{dop}}$	$\text{N}/\text{mm}^2$	dopušteni površinski tlak
$p_u$	$\text{N}/\text{mm}^2$	tlak između dva svornjaka
$p_v$	$\text{N}/\text{mm}^2$	tlak između svornjaka i glavine
$P$	kg	masa prednje osovine
$R$	N	rezultantna sila na poluge
$R$	mm	promjer stapa cilindra
$R_e$	$\text{N}/\text{mm}^2$	granica tečenja materijala
$W_g$	$\text{mm}^3$	moment otpora grede
$W_y$	$\text{mm}^3$	moment otpora cijevi
$W_{\text{zav1}}$	$\text{mm}^3$	moment otpora zavara 1
$W_{\text{zav2}}$	$\text{mm}^3$	moment otpora zavara 2
$Z$	kg	masa stražnje osovine
$\tau_c$	$\text{N}/\text{mm}^2$	smično naprezanje cijevi
$\tau_p$	$\text{N}/\text{mm}^2$	smično naprezanje poluge
$\tau_{\text{IIzav1}}$	$\text{N}/\text{mm}^2$	smično naprezanje zavara 1
$\tau_{\text{IIzav2}}$	$\text{N}/\text{mm}^2$	smično naprezanje zavara 2
$\sigma_{\text{f1}}$	$\text{N}/\text{mm}^2$	savojno naprezanje
$\sigma_{\text{fzav1}}$	$\text{N}/\text{mm}^2$	savojno naprezanje zavara 1
$\sigma_{\text{fzav2}}$	$\text{N}/\text{mm}^2$	savojno naprezanje zavara 2
$\sigma_{\max}$	$\text{N}/\text{mm}^2$	maksimalno naprezanje grede G2
$\sigma_{\text{red1}}$	$\text{N}/\text{mm}^2$	reducirano naprezanje zavara 1
$\sigma_{\text{vg}}$	$\text{N}/\text{mm}^2$	normalno naprezanje prihvavnog lima
$\sigma_{\text{zav}}$	$\text{N}/\text{mm}^2$	tlačno naprezanje zavara
$\sigma_{\text{zavu}}$	$\text{N}/\text{mm}^2$	tlačno naprezanje zavara
$\sigma_{\text{zavL1}}$	$\text{N}/\text{mm}^2$	vlačno naprezanje zavara
$\sigma_{\text{zavL2}}$	$\text{N}/\text{mm}^2$	naprezanje zavara

## 1. UVOD

Današnje gospodarstvo sastoje se od tri osnovne djelatnosti, to su:

- a) primarne: poljoprivreda, stočarstvo, ribarstvo i šumarstvo.
- b) sekundarne: industrija, građevinarstvo, rudarstvo, energetika, brodogradnja i proizvodno obrtništvo.
- c) tercijarne: trgovina, promet, ugostiteljstvo, bankarstvo i turizam.

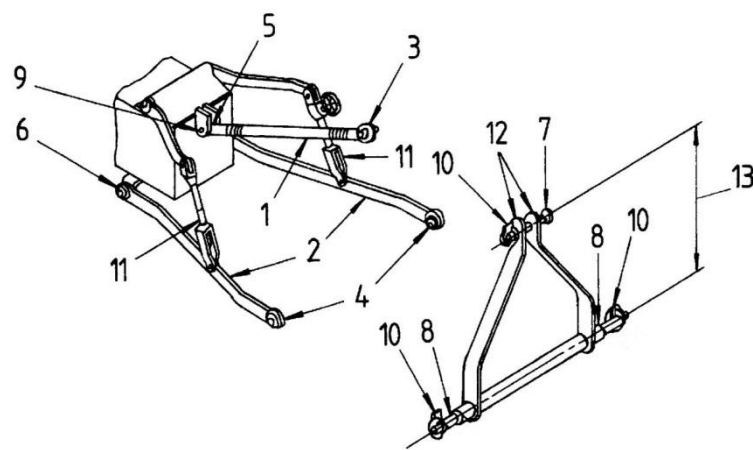
Od gore navedenih djelatnosti, najvažnija je poljoprivreda koja je sustavni proces proizvodnje tvari za čovjekovu prehranu. Poljoprivreda se danas može podjeliti na stočarstvo i ratarstvo. Stočarstvom se ljudi bave već tisućama godina, a ono podrazumjeva uzgoj stoke u svrhu proizvodnje hrane za ljudsku prehranu i u svrhu dobivanja raznih sirovina, kao što su koža i vuna za daljnju preradu. Ratarstvo je grana poljoprivrede koja se bavi uzgojem biljaka, a značaj ratarstva je u tome što su proizvodi ratarstva osnova u prehrani ljudi i stoke.

Obrada zemlje iznimno je težak proces za ljude, pa se od davnina koriste različite vrste alata i pogonskih strojeva kako bi olakšali čovjeku posao. Prije manje od sto godina, žito se ručno kosilo što je bilo naporno i sporo, ali je bilo kruna cijelogodišnjega rada i davalо je težacima sigurnost da neće biti gladni do sljedeće žetve. Danas, žetva se obavlja visokoučinkovitim strojevima - kombajnima koji uz pomoć elektroničkih računala gotovo bez utjecaja čovjeka obavljaju žetvu. Moderni kombajni imaju radne zahvate i do 12m, i vlastite mase od nekoliko desetaka tona. Iako se tijekom vršidbe svi radni parametri podešavaju putem elektronike, ipak je za različite kulture potrebno izvršiti zamjenu i prilagodnu nekih komponenata za što je potrebna ljudska snaga. Kako su mase pojedinih komponenata uvelike prerasle fizičke sposobnosti čovjeka, tako su i nastale potrebe za različitim alatima i napravama koje će omogućiti čovjeku obavljanje potrebnih radnji. Najteži sklop koji je potrebno ukloniti prilikom prilagodbe kombajna za drugu kulturu naziva se uvlačni kanal i njegova masa je preko 500 kilograma što znači da ga čovjek vlastitom snagom nikako ne može ukloniti. Sam kanal je moguće ukloniti na nekoliko načina, no praksa je pokazala da je najpogodniji način za skidanje uporaba posebno konstruirane vrste traktorskog viličara čija će konstrukcija biti obrađena u ovom radu.

## 2. TRAKTORI

Traktor predstavlja najvažniji stroj u poljoprivredi namijenjen za vuču i pogon radnih strojeva i oruđa. Priključke manjih dimenzija i masa moguće je nositi na traktoru, dok se veći strojevi i priključci vuku. Vučeni priključci na traktor se spajaju uporabom vučnog uređaja koji je sastavni dio traktora konstruiran za ostvarivanje mehaničke veze između traktora i vučenog vozila. Vučni uređaj je poteznica na koju se vučena vozila priključuju najčešće u jednoj točci. Spajanjem vučenog vozila na traktor između vučnog uređaja - poteznice i tzv. ruda koje je dio vučenog vozila onemogućuju se pomaci ruda u odnosu na poteznicu dok pri tome rotacije oko sve tri osi ostaju samo djelomično ograničene. Ovakvim načinom spajanja ostvarena je zglobna veza između traktora i vučenog vozila što znači da geometrija cijelog vozila nije fiksno definirana. Prilikom nošenja priključaka, potrebno je fiksno definirati geometriju vozila kako prilikom transporta i manipulacije ne bi došlo do slobodnog gibanja nošenog priključka što u ekstremnim slučajima može uzrokovati gubitak stabilnosti vozila i gubitak nadzora nad vozilom što može rezultirati materijalnom štetom i ljudskim žrtvama. Zbog svega navedenog za nošenje priključaka upotrebljava se trozglobna poteznica standardizirana prema ISO 730. Spajanjem tijela u tri točke, potpuno je definirana geometrija vozila i djelomično ili u potpunosti su ograničeni slobodni pomaci nošenog priključka.

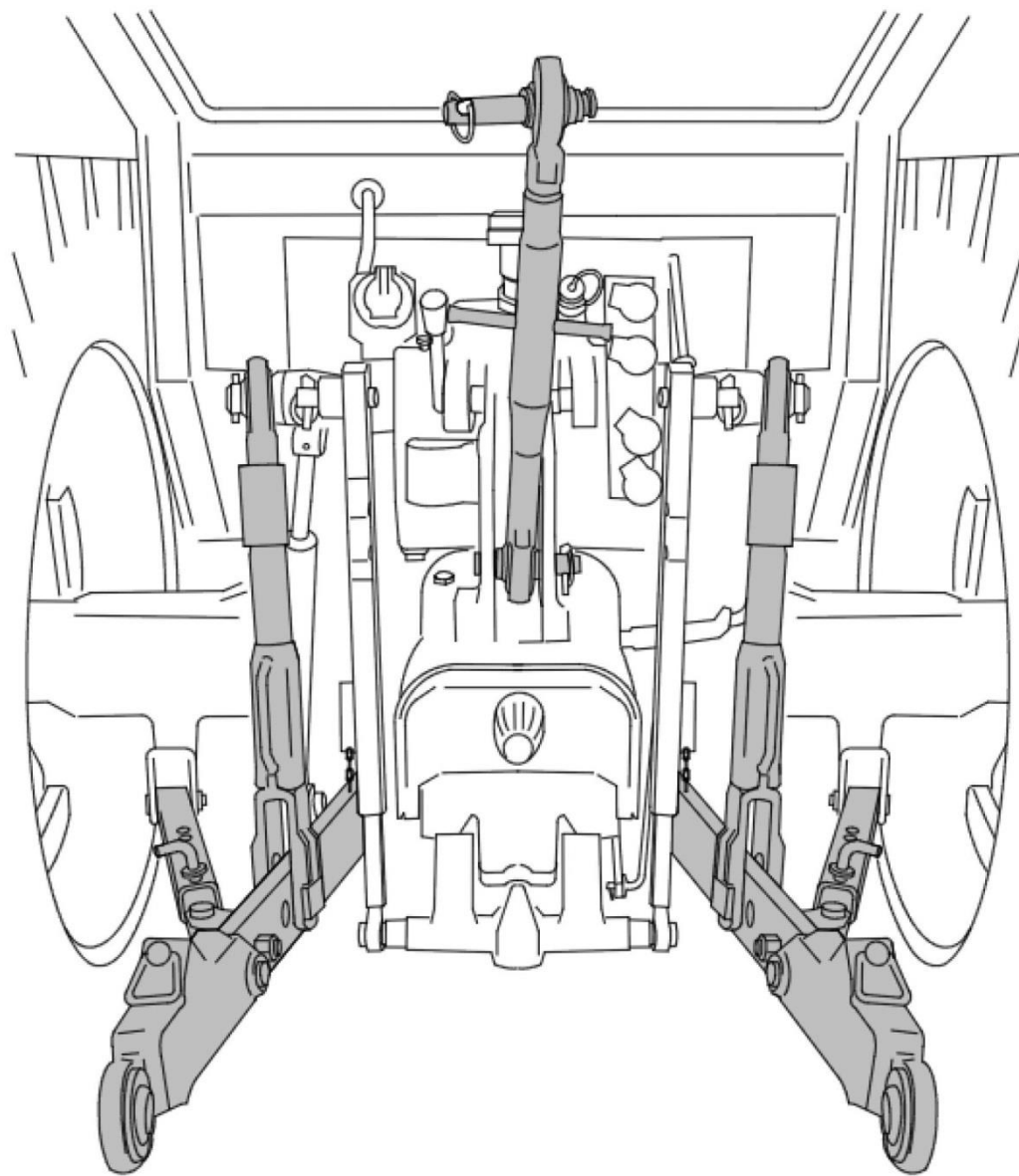
Specifičnost traktora koja mu osigurava široku primjenu i obavljanje različitih poslova je ta da je osim gibanja s traktora na priključak moguće prenositi i snagu. Prijenos snage vrši se putem priključnog vratila za oduzimanje snage (eng. PTO - power take-off) čiji oblik i svojstva definira norma ISO 500-3 ili putem hidraulike. Priključnim vratilom se izravno prenosi rotacijsko gibanje s radilice pogonskog motora na radni stroj. Hidraulika se upotrebljava najčešće za pogon hidrauličkih cilindara koji vrše translaciju, no moguće je i pokretanje hidromotora koji daju rotacijsko gibanje na izlaznom vratilu.



**Slika 1. Komponente trozglobne poteznice**

Prema Slika 1 dijelovi trozglobne poteznice su:

1. Gornja poluga: element gornje veze, opremljen zglobnim vezama na oba kraja
2. Donje poluge: element donje veze, opremljeni zglobnim vezama na oba kraja
3. Priklučna točka gornje poluge: zglobna veza između gornje poluge i priključka
4. Priklučne točke donjih poluga: zglobne veze između donje poluge i priključka
5. Točka spoja gornje poluge: zglobna veza između gornje poluge i traktora
6. Točke spoja donjih poluga: zglobne veze između donjih poluga i traktora
7. Spojni član gornje veze: svornjak - klin, obično odvojiv i čini vezu između gornje poluge i priključka
8. Spojni član donje veze: svornjak - klin, obično dio priključka i čini vezu između priključka i donjih poluga
9. Spojni član gornje poluge: svornjak - klin, obično odvojiv i čini vezu između gornje poluge i traktora
10. Osigurač: obično vrsta svornjaka s opružnim djelovanjem koji sprječava nenamjerno rastavljanje veze između poluge i priključka
11. Spojne šipke: veze koje prenose sile za podizanje na donje poluge
12. Mjesto gornjeg spoja: dio priključka s elementima koji omogućuju ostvarivanje gornje veze
13. Visina mesta gornjeg spoja: vertikalna udaljenost između gornje točke spoja i pravca kroz donje točke spoja



**Slika 2. Izgled stražnjeg kraja traktora**

Na Slika 2 prikazan je izgled stražnjeg kraja traktora. Zatamnjene komponente su dijelovi pomoću kojih se ostvaruje trozglobna veza između traktora i priključka.

### 3. KONCIPIRANJE

Koncipiranje je faza u razvoju novog proizvoda gdje je naglasak na prikupljanju potrebnih informacija o proizvodu koji se razvija, njihovom vrednovanju i odlučivanju na temelju vrednovanja. Faza koncipiranja sastoji se od prepoznavanja potreba kupaca, analize sličnih proizvoda, definiranja konačne specifikacije proizvoda, testiranja koncepata, izrade ekonomski analize, te izrade plana razvojnih aktivnosti.

#### 3.1. Određivanje zahtjeva - potrebe kupaca

Ovaj je proizvod prvenstveno namjenjen ovlaštenim servisima koji se bave servisom i održavanjem kombajna. U suradnji sa jednim ovlaštenim servisom kroz razgovor sa serviserima koji će koristiti ovaj proizvod definirane su sljedeće potrebe i zahtjevi:

- što manja masa i dimenzije proizvoda
- što jednostavnija uporaba
- jednostavna montaža i demontaža na traktor
- pouzdanost zbog velike štete koja može nastati zbog lošeg proizvoda
- mogućnost primjene jednog proizvoda na svim uvlačnim kanalima

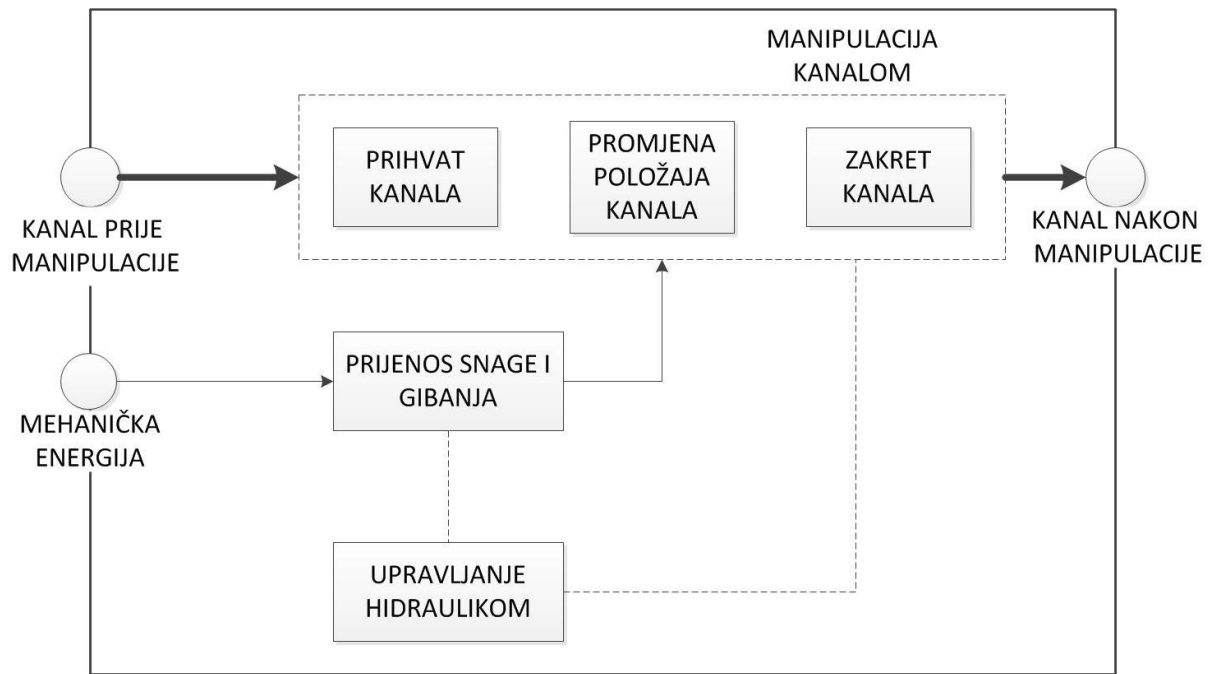
#### 3.2. Analiza tržišta

Analizom tržišta nisu pronađeni slični proizvodi što znači jednostavniji razvoj zbog ne postojanja opasnosti od eventualne povrede patentnih prava.

#### 3.3. Određivanje ciljanih karakteristika

- prihvata kanala širine između 1300mm i 1600mm, te visine ulaza između 700mm i 900mm
- nosivost 800kg
- upravljanje putem hidraulike ili ručno
- mogućnost zakreta oko uzdužne osi min  $\pm 5^\circ$

### 3.4. Funkcijska struktura



Slika 3. Funkcijska struktura

### 3.5. Morfološka matrica

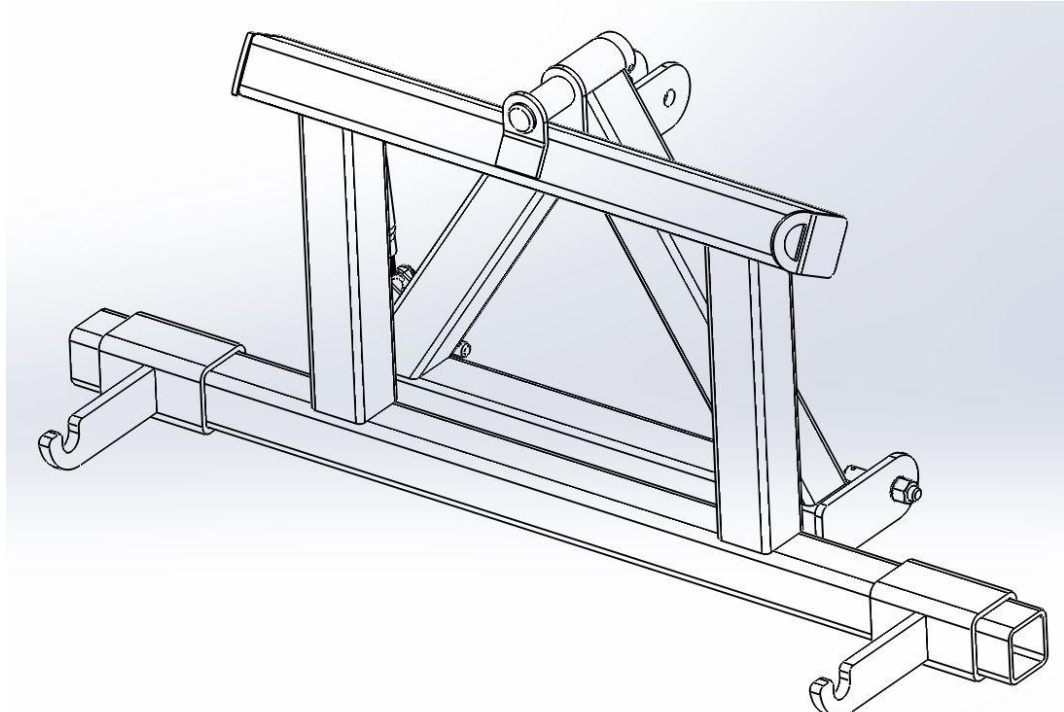
PRIHVAT KANALA	OBLIKOM 	TRENJEM 	VIJCIMA 
PROMJENA POLOŽAJA KANALA	VRETELJOM 	HIDRAULIKOM 	
ZAKRET KANALA	VRETELJOM 	HIDRAULIKOM 	
PRIJENOS SNAGE I GIBANJA	HIDRAULIČNI 	ZUBNOM LETVOM 	
UPRAVLJANJE HIDRAULIKOM	MEHANIČKI 	ELEKTRONIČKI 	

Slika 4. Morfološka matrica

Temeljem morfološke matrice generirano je 2 koncepta.

### 3.6. Koncepti

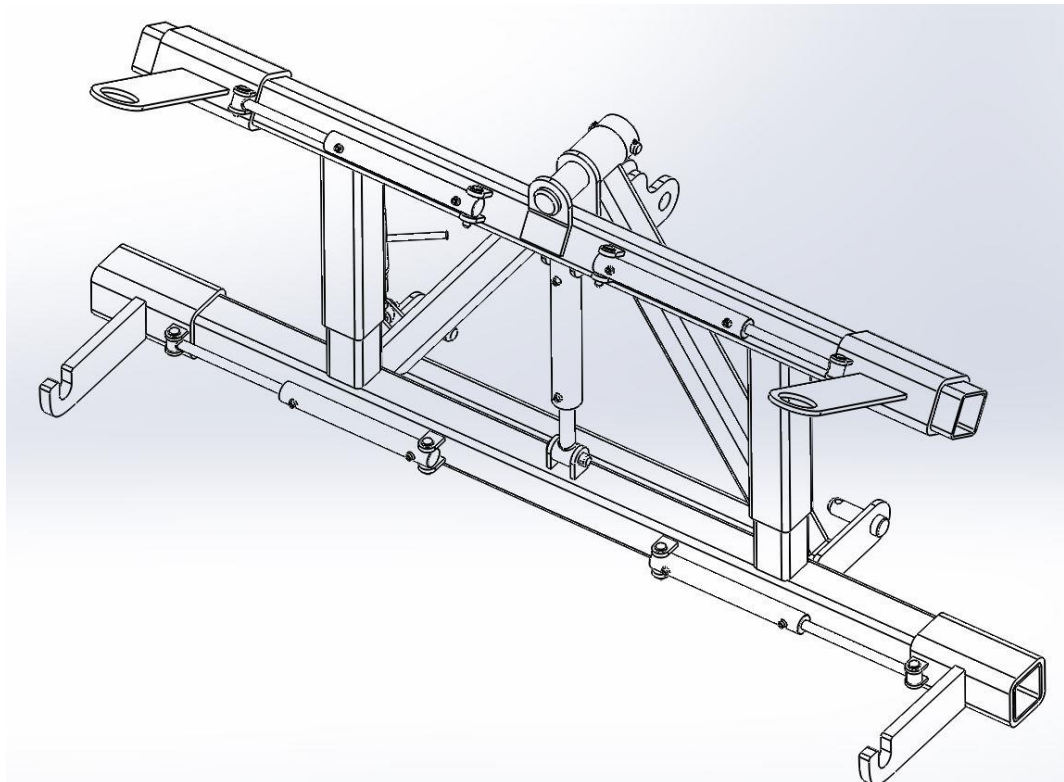
#### 3.6.1. Koncept 1



Slika 5. Koncept 1

Koncept 1 je zamišljen tako da se sastoji od nosivog trokuta koji se priključuje na traktor pomoću standardne veze u tri točke. Na nosivi trokut je zglobno vezana konstrukcija koja se može zakretati oko uzdužne osi traktora. Priključenje uvlačnog kanala izvodi se tako se traktor i ova naprava pozicioniraju u odgovarajući položaj, zatim se ručno namjesti razmak poluga kako bi odgovarao dimenzijama kanala. Nakon namještanja poluga i oslanjanja kanala na njih potrebno je odgovarajućim lancima vezati gornji dio kanala na za to predviđena mjesta na samoj napravi čime je kanal prihvaćen na napravu i spreman je za daljnju manipulaciju.

### 3.6.2. Koncept 2



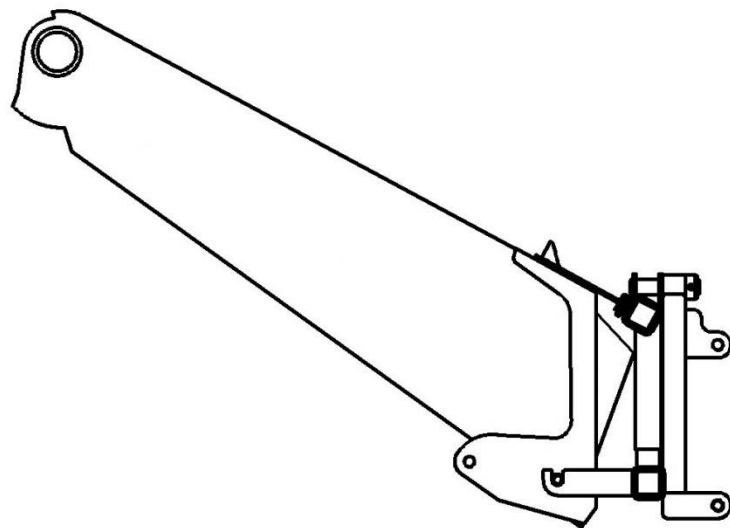
Slika 6. Koncept 2

Koncept 2 sastoji se od nosivog trokuta na koji je vezana konstrukcija za prihvatanje kanala koja se može zakretati oko uzdužne osi traktora. Prihvatanje kanala zamišljen je tako da se kanal zglobno oslanja na poluge dok se za sprječavanje rotacije kanala koriste prihvativi limovi na gornjem dijelu ove naprave. Prilagodba za različite dimenzije kanala vrši se putem hidraulike s traktora tako što se poluge i prihvativi limovi nalaze na klizačima koji se pokreću hidrauličkim cilindrima. Prihvatanje kanala se vrši tako da operater pozicionira traktor i ovu napravu u odgovarajući položaj, namjesti razmak poluga i prihvativih limova te putem centralno smještenog hidrauličkog cilindra "zaključa" kanal između ove 4 točke. Nakon što je kanal prihvacić potrebno je uređaj osigurati od slučajnog otvaranja zatvaranjem sigurnosnih ventila na samoj napravi ili blokiranjem ručica/prekidača na samom traktoru ovisno o njegovim mogućnostima.

Za daljnju razradu odabran je koncept 2 koji je unatoč složenijoj konstrukciji bolji je u odnosu na koncept 1 zbog toga što je za uporabu potreban samo jedan operater koji iz kabine traktora putem hidraulike može podešavati sve parametre i sam izvršiti prihvati kanala. Za prihvati kanala kod koncepta 1 potrebno je dva operatera, jedan koji će upravljati traktorom i drugi koji će tijekom pozicioniranja traktora dovoditi klizače s polugama u odgovarajući položaj. Nakon pozicioniranja traktora i prihvata kanala na poluge naprave za uklanjanje istoga, potrebno je vezati lance na odgovarajuća mjesta na samom kanalu pri čemu se zbog visine kanala operateri moraju služiti ljestvama ili se popeti na nešto što je opasno i ima negativan utjecaj na sigurnost operatera.

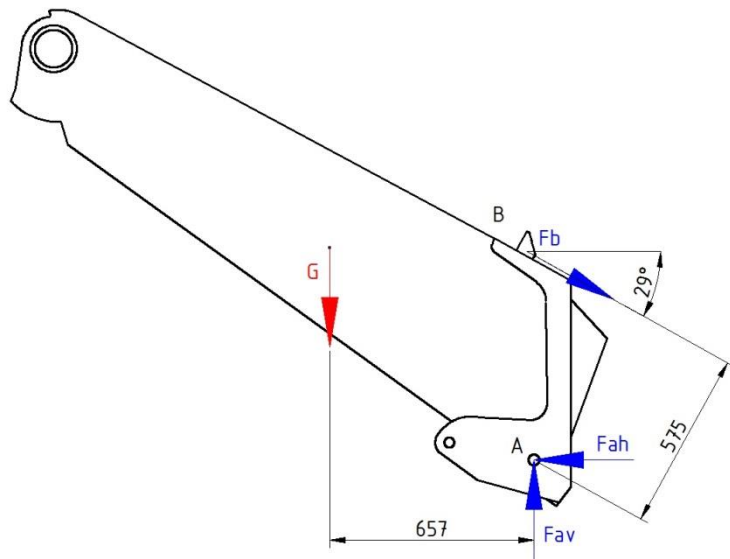
## 4. PRORAČUN

### 4.1. Određivanje opterećenja



Slika 7. Položaj uvlačnog kanala na viličaru

Oslobađanjem tijela veza, moguće je izračunati sile koje djeluju na viličar.



Slika 8. Tijelo oslobođeno veza

Težina kanala:

$$G = m_k \cdot g \quad (1)$$

$$m_k = 800 \text{ kg} \quad (2)$$

$$G \approx 8000 \text{ N} \quad (3)$$

Sile koje djeluju na viličar:

$$\sum M_A = 0 \quad (4)$$

$$G \cdot 657 - F_b \cdot 575 = 0 \quad (5)$$

$$F_b \approx 9200 \text{ N} \quad (6)$$

$$\sum F_v = 0 \quad (7)$$

$$G - F_{av} + F_b \cdot \sin 29 = 0 \quad (8)$$

$$F_{av} \approx 12500 \text{ N} \quad (9)$$

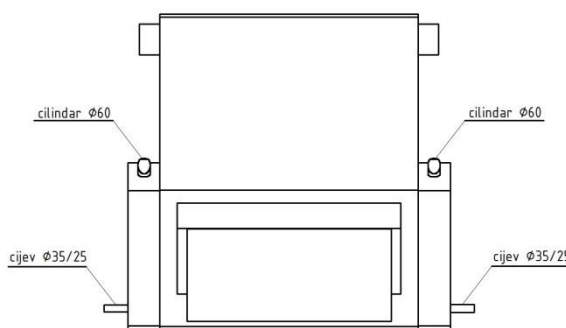
$$\sum F_h = 0 \quad (10)$$

$$F_{ah} - F_b \cdot \cos 29 = 0 \quad (11)$$

$$F_{ah} \approx 8050 \text{ N} \quad (12)$$

#### 4.2. Proračun čvrstoće prihvavnih mjestava

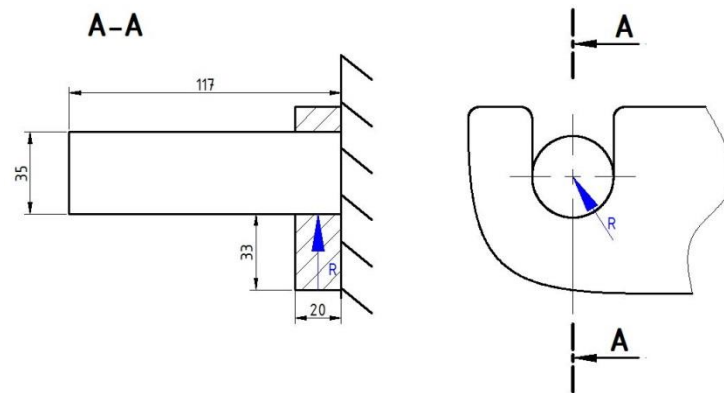
Prihvat kanala se vrši preko poluga na koje u za to predviđene utore ulaze cijevi koje konzolno izlaze iz tijela kanala u donjem dijelu kanala i preko dvije cilindrične izbočine na gornjem dijelu kanala.



**Slika 9.** Nacrt kanala s označenim mjestima prihvata

#### 4.2.1. Čvrstoća prihvavnih cijevi

Sila koja djeluje na cijev  $\phi 35/25$  jednaka je polovini resultantne sile reakcija  $F_{av}$  i  $F_{ah}$ .



Slika 10. Sila na cijev

$$R = 0,5 \cdot \sqrt{F_{ah}^2 + F_{av}^2} \quad (13)$$

$$R = 0,5 \cdot \sqrt{F_{ah}^2 + F_{av}^2} \quad (14)$$

$$R \approx 7500 \text{ N} \quad (15)$$

Savijanje

$$\sigma_{fl} = \frac{R \cdot l_1}{W_y} \quad (16)$$

$$W_y = \frac{\pi}{32} \cdot \frac{D^4 - d^4}{D} \quad (17)$$

$$W_y = 3113,54 \text{ mm}^3 \quad (18)$$

$$l_1 = 10 \text{ mm} \quad (19)$$

$$\sigma_{fl} = 24,09 \frac{\text{N}}{\text{mm}^2} \leq \sigma_{dop} = 40 \frac{\text{N}}{\text{mm}^2} \quad \text{ZADOVOLJAVA} \quad (20)$$

Površinski tlak između cijevi i poluge

$$p_1 = \frac{R}{l_2 \cdot D} \quad (21)$$

$$l_2 = 20 \text{ mm} \quad (22)$$

$$p_1 = 10,71 \frac{\text{N}}{\text{mm}^2} \leq p_{dop} = 100 \frac{\text{N}}{\text{mm}^2} \quad \text{ZADOVOLJAVA} \quad (23)$$

Odrez

$$\tau_c = \frac{R}{A_c} \quad (24)$$

$$A_c = \frac{D^2\pi}{4} - \frac{d^2\pi}{4} \quad (25)$$

$$A_c = 471,24 \text{ mm}^2 \quad (26)$$

$$\tau_c = 15,92 \frac{\text{N}}{\text{mm}^2} \leq \tau_{\text{dop}} = 100 \frac{\text{N}}{\text{mm}^2} \text{ ZADOVOLJAVA} \quad (27)$$

#### 4.2.2. Čvrstoća poluge

Prema Slika 10 kritični presjek poluge je A-A.

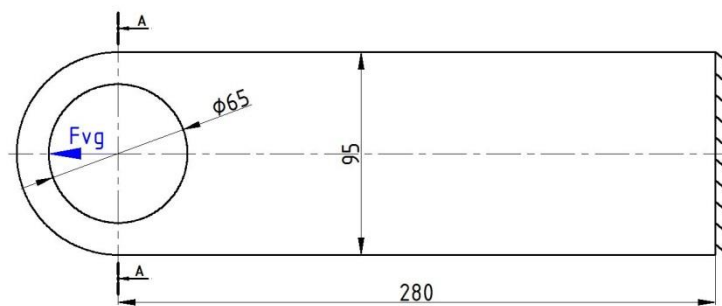
$$\tau = \frac{0,5 \cdot F_{av}}{A_p} \quad (28)$$

$$A_p = l_2 \cdot l_{kr} \quad (29)$$

$$A_p = 660 \text{ mm}^2 \quad (30)$$

$$\tau_p = 9,47 \frac{\text{N}}{\text{mm}^2} \leq \tau_{\text{dop}} = 100 \frac{\text{N}}{\text{mm}^2} \text{ ZADOVOLJAVA} \quad (31)$$

#### 4.2.3. Čvrstoća prihvavnih limova



Slika 11. Prihvati lim

Potrebno je izvršiti kontrolu čvrstoće na kritičnom presjeku A-A.

$$A_L = 2 \cdot 15 \cdot 8 = 240 \text{ mm}^2 \quad (32)$$

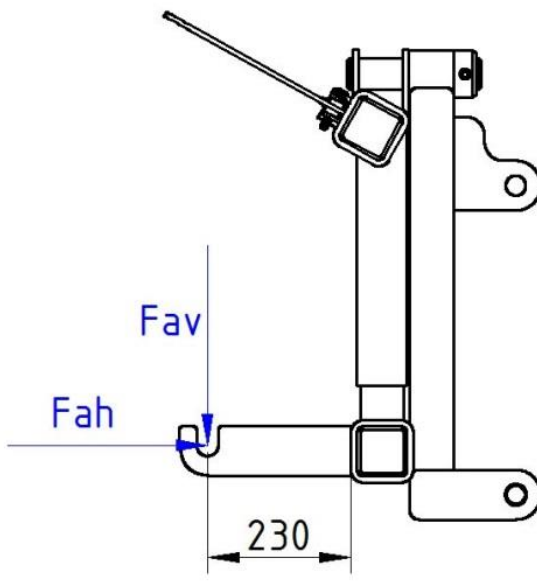
$$F_{VG} = 0,5 \cdot F_B \quad (33)$$

$$F_{VG} = 4600 \text{ N} \quad (34)$$

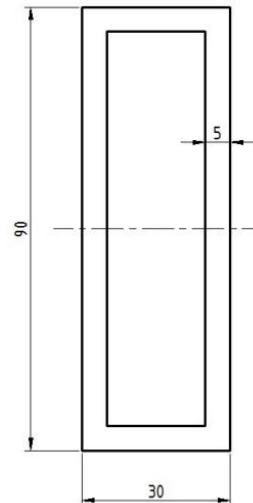
$$\sigma_{VG} = \frac{F_{VG}}{A_L} \quad (35)$$

$$\sigma_{VG} = 19,17 \frac{\text{N}}{\text{mm}^2} < R_e = 235 \frac{\text{N}}{\text{mm}^2} \quad \text{ZADOVOLJAVA} \quad (36)$$

#### 4.3. Proračun zavara poluge na klizač



Slika 12. Prikaz sila na polugu



Slika 13. Pojednostavljeni prikaz zavara

Prema tehničkim propisima uzima se da je smično naprezanje jednoliko raspoređeno po presjeku zavara i da ga preuzimaju samo zavari paralelni sa smjerom djelovanja smične sile [5].

Smično naprezanje zavara

$$\tau_{Izav1} = \frac{0,5 \cdot F_{av}}{A_{Izav1}} \quad (37)$$

$$A_{Izav1} = 2 \cdot 90 \cdot 5 = 900 \text{ mm}^2 \quad (38)$$

$$\tau_{Izav1} = 6,94 \frac{\text{N}}{\text{mm}^2} \quad (39)$$

Tlačno naprezanje zavara

$$\sigma_{zav} = \frac{0,5 \cdot F_{ah}}{A_{zav}} \quad (40)$$

$$A_{zav} = 90 \cdot 30 - 80 \cdot 20 = 1100 \text{ mm}^2 \quad (41)$$

$$\sigma_{zav} = 3,66 \frac{\text{N}}{\text{mm}^2} \quad (42)$$

Savojno naprezanje zavara

$$\sigma_{fzav1} = \frac{0,5 \cdot F_{av} \cdot l_3}{W_{zav1}} \quad (43)$$

$$l_3 = 230 \text{ mm} \quad (44)$$

$$W_{zav1} = \frac{I_{zav1}}{e_1} \quad (45)$$

$$I_{zav1} = \frac{30 \cdot 90^3}{12} - \frac{20 \cdot 80^3}{12} = 969167 \text{ mm}^4 \quad (46)$$

$$e_1 = \frac{90}{2} = 45 \text{ mm} \quad (47)$$

$$W_{zav1} = 21537 \text{ mm}^3 \quad (48)$$

$$\sigma_{fzav1} = 66,75 \frac{\text{N}}{\text{mm}^2} \quad (49)$$

Reducirano naprezanje

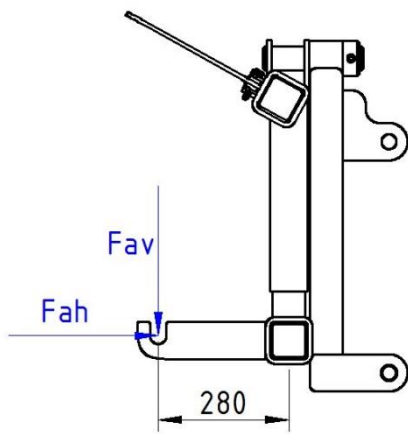
$$\sigma_{red1} = \sqrt{\sigma_{zav}^2 + 3\tau_{IIzav1}^2} \quad (50)$$

$$\sigma_{red1} = \sigma_{zav} + \sigma_{fzav1} \quad (51)$$

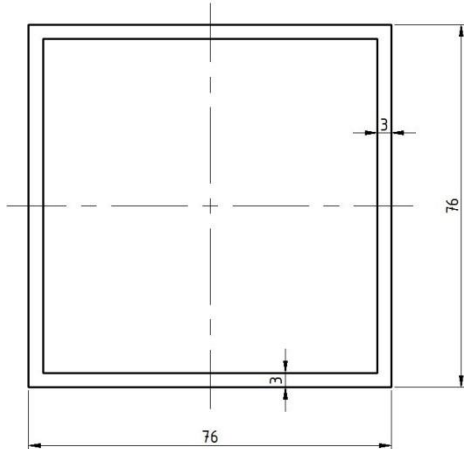
$$\sigma_{red1} = 67,82 \frac{\text{N}}{\text{mm}^2} \quad (52)$$

$$\sigma_{red1} = 67,82 \frac{\text{N}}{\text{mm}^2} \leq \sigma_{dop} = 270 \frac{\text{N}}{\text{mm}^2} \quad \text{ZADOVOLJAVA} \quad (53)$$

#### 4.4. Proračun zavara poprečne grede G2 na vertikalnu vodilicu V2



Slika 14. Prikaz sila na zavar



Slika 15. Pojednostavljeni prikaz zavara

Zavar grede G2 i vodilice V1 opterećen je samo savojno.

$$\sigma_{\text{fzav2}} = \frac{0,5 \cdot F_{\text{av}} \cdot l_4}{W_{\text{zav2}}} \quad (54)$$

$$l_4 = 280 \text{ mm} \quad (55)$$

$$W_{\text{zav2}} = \frac{I_{\text{zav2}}}{e_2} \quad (56)$$

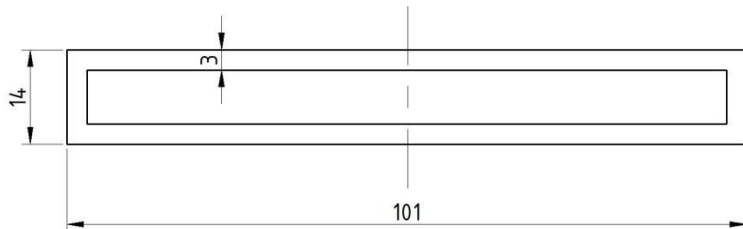
$$I_{\text{zav2}} = \frac{76 \cdot 76^3}{12} - \frac{70 \cdot 70^3}{12} = 779348 \text{ mm}^4 \quad (57)$$

$$e_2 = \frac{70}{2} + 3 = 38 \text{ mm} \quad (58)$$

$$W_{\text{zav2}} = 20509 \text{ mm}^3 \quad (59)$$

$$\sigma_{\text{fzav2}} = 85,33 \frac{\text{N}}{\text{mm}^2} \leq \sigma_{\text{dop}} = 270 \frac{\text{N}}{\text{mm}^2} \quad \text{ZADOVOLJAVA} \quad (60)$$

#### 4.5. Proračun zavara lima L1 na vodilicu V1



Slika 16. Pojednostavljeni prikaz zavara

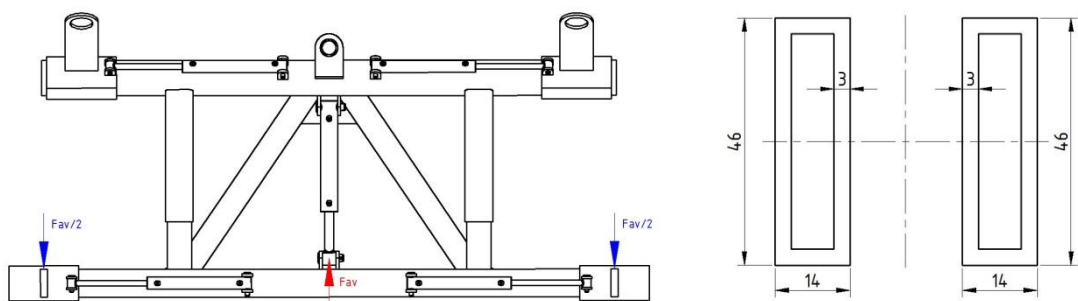
Prema Slika 11. zavar je opterećen samo vlačnom silom.

$$\sigma_{zavL1} = \frac{F_{VG}}{A_{zavg}} \quad (61)$$

$$A_{zavg} = 101 \cdot 14 - 95 \cdot 8 = 654 \text{ mm}^2 \quad (62)$$

$$\sigma_{zavL1} = 7,03 \frac{\text{N}}{\text{mm}^2} \leq \sigma_{dop} = 270 \frac{\text{N}}{\text{mm}^2} \quad \text{ZADOVOLJAVA} \quad (63)$$

#### 4.6. Proračun zavara limova za spoj grede G2 i cilindra C1



Slika 17. Prikaz sile na limove

Slika 18. Pojednostavljeni prikaz zavara

$$\sigma_{zavu} = \frac{F_{AV}}{A_{zavu}} \quad (64)$$

$$A_{zavu} = 2 \cdot (46 \cdot 14 - 40 \cdot 8) = 648 \text{ mm}^2 \quad (65)$$

$$\sigma_{zavu} = 19,29 \frac{\text{N}}{\text{mm}^2} \leq \sigma_{dop} = 270 \frac{\text{N}}{\text{mm}^2} \quad \text{ZADOVOLJAVA} \quad (66)$$

#### 4.7. Proračun zavara limova za spoj grede G1 na centralni svornjak

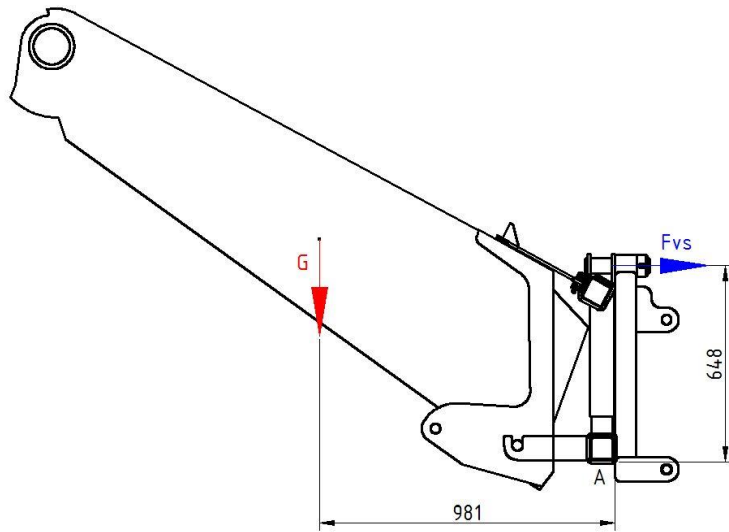
Prema tehničkim propisima uzima se da je smično naprezanje jednoliko raspoređeno po presjeku zavara i da ga preuzimaju samo zavari paralelni sa smjerom djelovanja smične sile [5].

$$\tau_{IIzav2} = \frac{F_{av}}{A_{IIzav2}} \quad (67)$$

$$A_{IIzav2} = 2 \cdot (50 \cdot 3) + 2 \cdot (55 \cdot 3) = 630 \text{ mm}^2 \quad (68)$$

$$\tau_{IIzav2} = 19,84 \frac{\text{N}}{\text{mm}^2} \leq \tau_{dop} = 100 \frac{\text{N}}{\text{mm}^2} \quad \text{ZADOVOLJAVA} \quad (69)$$

#### 4.8. Proračun zavara glavine centralnog svornjaka



**Slika 19. Sila na centralni svornjak**

$$\Sigma M_A = 0 \quad (70)$$

$$G \cdot 981 - F_{vs} \cdot 648 = 0 \quad (71)$$

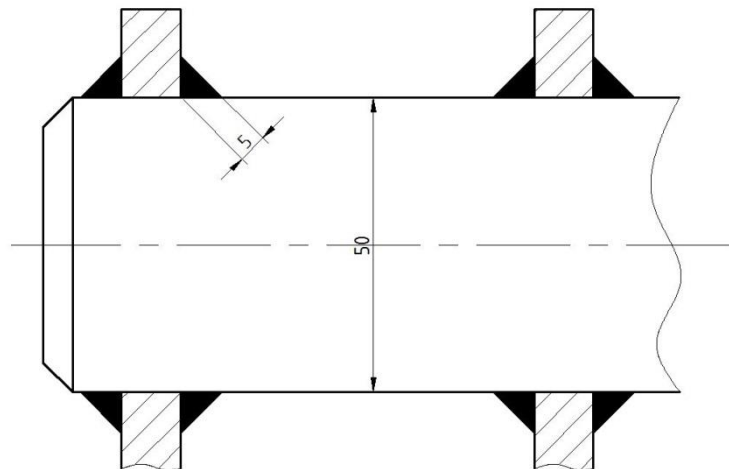
$$F_{vs} \approx 12110 \text{ N} \quad (72)$$

$$\tau_{I Izav3} = \frac{F_{vs}}{A_{I Izav3}} \quad (73)$$

$$A_{I Izav3} = 2 \cdot (42 \cdot 5) = 420 \text{ mm}^2 \quad (74)$$

$$\tau_{I Izav3} = 28,84 \frac{\text{N}}{\text{mm}^2} \quad (75)$$

#### 4.9. Proračun zavara limova na centralni svornjak



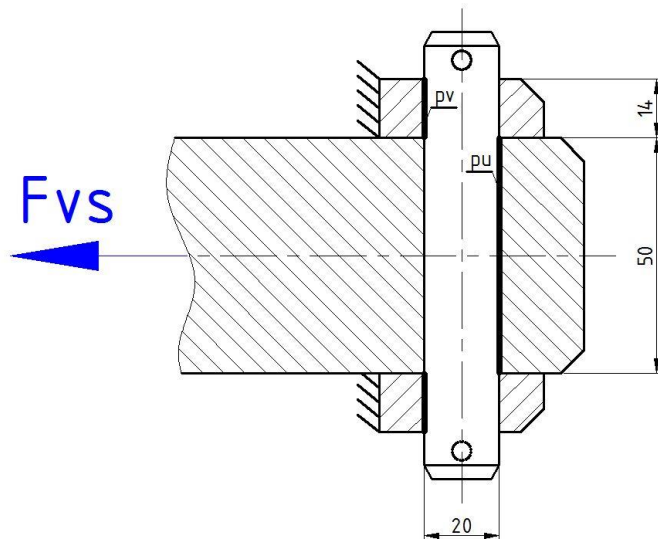
Slika 20. Prikaz zavara limova na svornjak

$$\sigma_{zavL2} = \frac{F_{VS}}{A_{zavs}} \quad (76)$$

$$A_{zavs} = 4 \cdot 5 \cdot (50 + 5) \cdot \pi \approx 3456 \text{ mm}^2 \quad (77)$$

$$\sigma_{zavL2} = 3,5 \frac{\text{N}}{\text{mm}^2} \leq \sigma_{\text{dop}} = 270 \frac{\text{N}}{\text{mm}^2} \quad \text{ZADOVOLJAVA} \quad (78)$$

#### 4.10. Proračun svornjaka S1



Slika 21. Sila na svornjak

Tlakovi

$$p_v = \frac{F_{vs}}{A_{sv}} \quad (79)$$

$$A_{sv} = 2 \cdot (14 \cdot 20) = 560 \text{ mm}^2 \quad (80)$$

$$p_v = 21,63 \frac{\text{N}}{\text{mm}^2} \leq p_{dop} = 24 \frac{\text{N}}{\text{mm}^2} \quad (81)$$

$$p_u = \frac{F_{us}}{A_{su}} \quad (82)$$

$$A_{su} = 50 \cdot 20 = 1000 \text{ mm}^2 \quad (83)$$

$$p_v = 12,11 \frac{\text{N}}{\text{mm}^2} \leq p_{dop} = 24 \frac{\text{N}}{\text{mm}^2} \quad \text{ZADOVOLJAVA} \quad (84)$$

Savojno naprezanje

$$\sigma_{fs} = \frac{0,5 \cdot F_{vs} \cdot 0,5 \cdot a}{0,1 \cdot d_{sv}^3} \quad (85)$$

$$a = 14 \text{ mm} \quad (86)$$

$$d_{sv} = 20 \text{ mm} \quad (87)$$

$$\sigma_{fs} = 52,98 \frac{\text{N}}{\text{mm}^2} \leq \sigma_{dop} = 134 \frac{\text{N}}{\text{mm}^2} \quad \text{ZADOVOLJAVA} \quad (88)$$

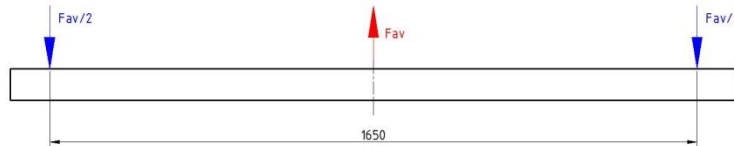
Naprezanje na odrez

$$\tau_{sv} = \frac{F_{vs}}{2A_{sv}} \quad (89)$$

$$A_{sv} = \frac{d_{sv}^2 \pi}{4} = 314,15 \text{ mm}^2 \quad (90)$$

$$\tau_{sv} = 19,27 \frac{\text{N}}{\text{mm}^2} \leq \tau_{dop} = 74 \frac{\text{N}}{\text{mm}^2} \quad \text{ZADOVOLJAVA} \quad (91)$$

#### 4.11. Proračun naprezanja i progiba grede G2



Slika 22. Proračunski model grede

Maksimalno naprezanje

$$\sigma_{\max} = \frac{M_{\max}}{W_g} \quad (92)$$

$$M_{\max} = \frac{F_{AV} \cdot l_g}{4} \quad (93)$$

$$l_g = 1650 \text{ mm} \quad (94)$$

$$M_{\max} = 5156250 \text{ Nmm} \quad (95)$$

$$W_g = 32,86 \cdot 10^3 \text{ mm}^3 \quad (96)$$

$$\sigma_{\max} = 156,92 \frac{\text{N}}{\text{mm}^2} \leq \sigma_{\text{dop}} = 235 \frac{\text{N}}{\text{mm}^2} \quad \text{ZADOVOLJAVA} \quad (97)$$

Progib

$$f = \frac{F_{AV} \cdot l_g^3}{48EI_g} \quad (98)$$

$$E = 210000 \frac{\text{N}}{\text{mm}^2} \quad (99)$$

$$I_g = 131,44 \cdot 10^4 \text{ mm}^4 \quad (100)$$

$$f = 4,24 \text{ mm} \quad (101)$$

#### 4.12. Proračun i odabir cilindra C1

Zahtjev za potrebnim hodom cilindra definiran je veličinom objekta koji je potrebno prihvatići. U ovom slučaju za prihvatu većine uvlačnih kanala dovoljan je cilindar hoda 200mm. Odabir cilindra se vrši iz kataloga standardnih cilindara tvrtke Interfluid Hydraulics Ltd.



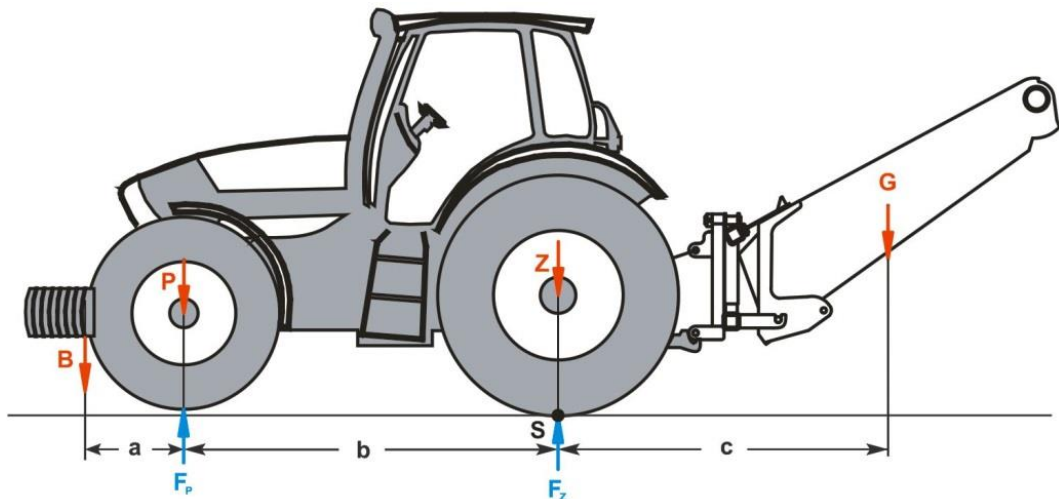
#### 4.13. Nosivi trokut za spajanje s traktorom

Kritične dimenzije nosivog trokuta su odabране prema normi ISO730-1:1994 za kategoriju traktora III pa ih stoga nije potrebno provjeravati.

#### 4.14. Proračun stabilnosti traktora

Zbog relativno velike mase uvlačnog kanala koja se nalazi na relativno velikoj udaljenosti od stražnje osovine traktora, postoji opasnost od prevrtanja traktora. Zbog toga je potrebno izvršiti proračun stabilnosti i mase potrebnog balasta na prednjem kraju traktora.

Kao referentni traktor odabran je Deutz - Fahr Agrotron 150 zbog svoje rasprostranjenosti među gospodarstvima koja imaju potrebu za ovakvom vrstom priključka.



Slika 24. Prikaz modela za proračun stabilnosti

Prema normi EN 12525:2000+A2 preporuka je da minimalno 20% ukupne mase traktora sa svim priključcima i balastom ostane na prednjoj osovinu kako bi bilo osigurano upravljanje i kočenje prilikom uporabe traktora.

$$a = 600 \text{ mm} \quad (107)$$

$$b = 2647 \text{ mm} \quad (108)$$

$$c = 2420 \text{ mm} \quad (109)$$

$$B = 100 \text{ kg} \quad (110)$$

$$G = 800 \text{ kg} \quad (111)$$

$$P = 2457 \text{ kg} \quad (112)$$

$$Z = 3003 \text{ kg} \quad (113)$$

$$\Sigma M_s = 0 \quad (114)$$

$$B \cdot (a+b) + P \cdot b - G \cdot c - F_p \cdot b = 0 \quad (115)$$

$$F_p = 1851 \text{ kg} \quad (116)$$

$$F_{p,\%} = \frac{F_p \cdot 100}{B + G + P + Z} = 29\% \quad (117)$$

Gore navedeni traktor moguće je naručiti s različitom količinom prednjih utega od minimalno 100kg do maksimalno 1000kg. Proizvođač standardno isporučuje minimalni uteg mase 100kg pa je prema takvoj konfiguraciji traktora izvršen proračun stabilnosti. Tako opterećen traktor u potpunosti zadovoljava uvjete stabilnosti navedene u normi EN 12525:2000+A2.

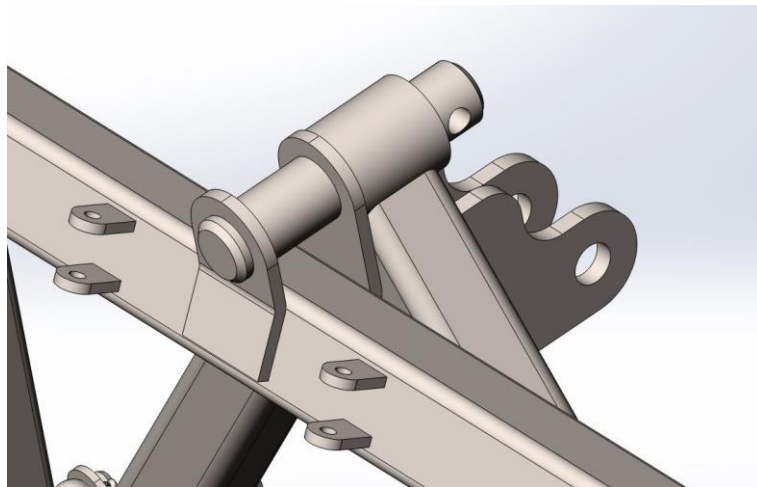
## SKLAPANJE URĐAJA

Sklapanje ovoga uređaja vrši se u fazama koje će biti prikazane na sljedećim slikama.

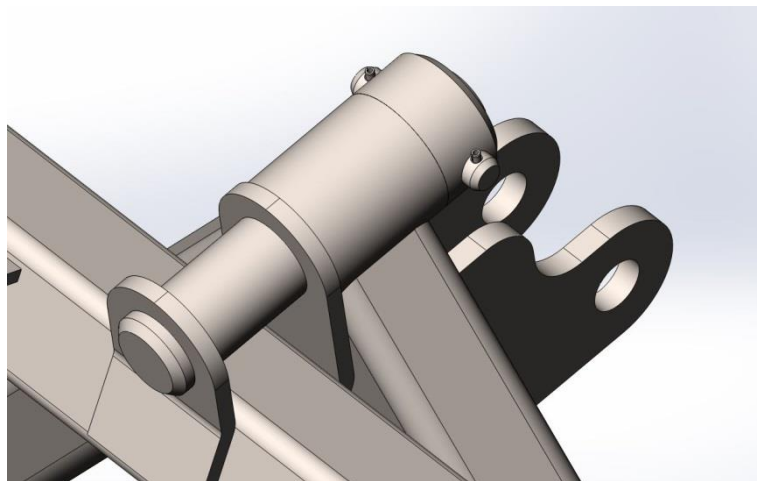
Sklapanje kreće od nosivog trokuta Slika 25. na koji se priključuje greda G1 Slika 26. Kada se nosivi trokut i greda G1 spoje, od rastavljanja se osiguravaju umetanjem svornjaka kroz glavinu i svornjak grede G1. Detalj navedenog spoja prikazan je na Slika 27. Sljedeći korak montaže je navlačenje klizača na gredu G1 i spajanje istih na gredu G1 pripadnim cilindrima putem svornjaka Slika 28. Nakon toga, sklopu se dodaje greda G2 koja je na sklop vezana preko centralnog cilindra, a veze između cilindra i greda se ostvaruju svornjacima Slika 29. Na gredu G2 se navlače klizači koji se priključuju na gredu odgovarajućim cilindrima, a veze između cilindara i greda i klizača, ostvaruju se svornjacima Slika 30. Završni korak sklapanja uređaja je montaža tzv. stabilizatora koji onemogućuje slobodno zakretanje uređaja oko centralnog svornjaka Slika 31. Svi svornjaci od ispadanja osigurani su opružnim zaticima.



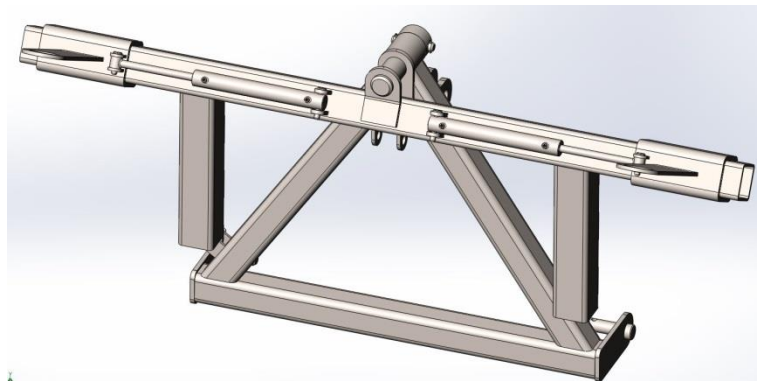
Slika 25. Nosivi trokut



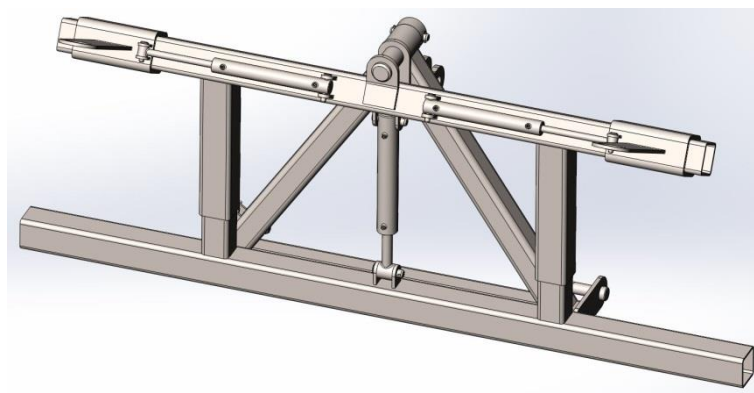
Slika 26. Spoj nosivog trokuta i grede G1



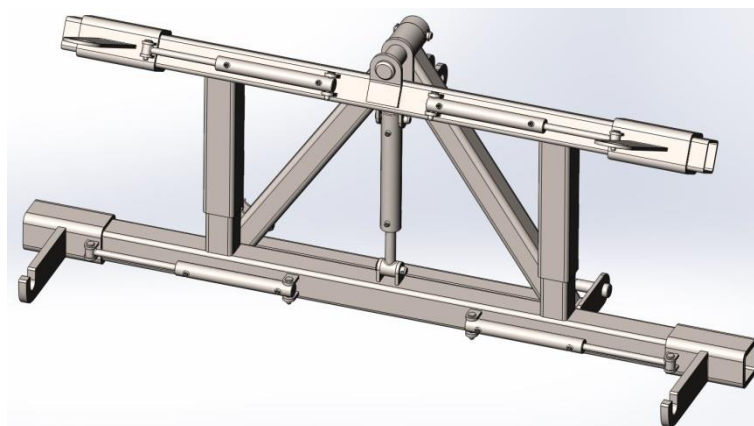
Slika 27. Detalj spoja



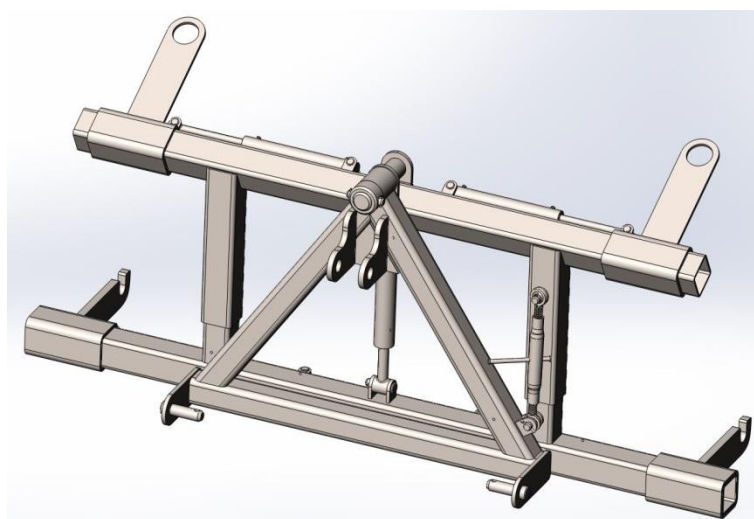
Slika 28. Sklop s dodanim klizačima i pripadnim cilindrima



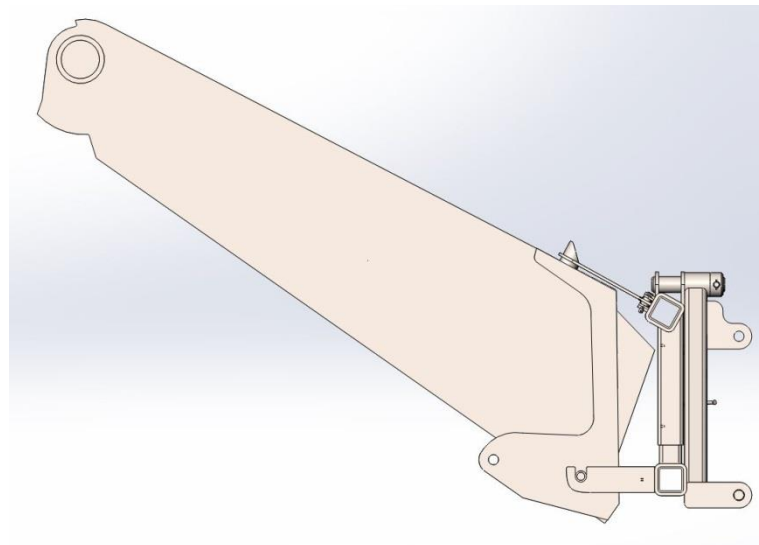
Slika 29. Sklop s montiranim gredom G2



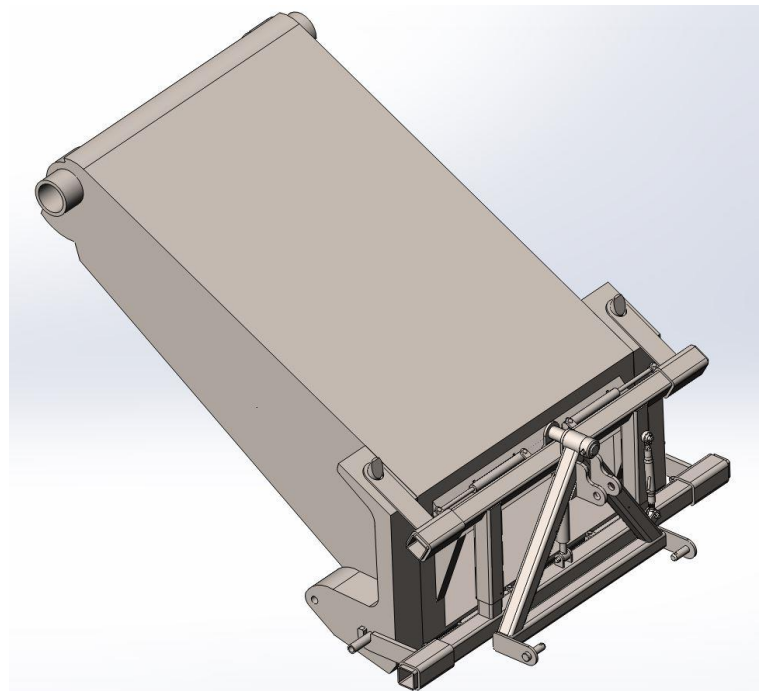
Slika 30. Sklop s dodanim klizačima i pripadnim cilindrima na gredu G2



Slika 31. Prikaz sklopa s dodanim tzv. stabilizatorom



Slika 32. Prikaz sklopa i uvlačnog kanala na njemu - bokocrt



Slika 33. Prikaz sklopa i uvlačnog kanala na njemu - izometrija

## **ZAKLJUČAK**

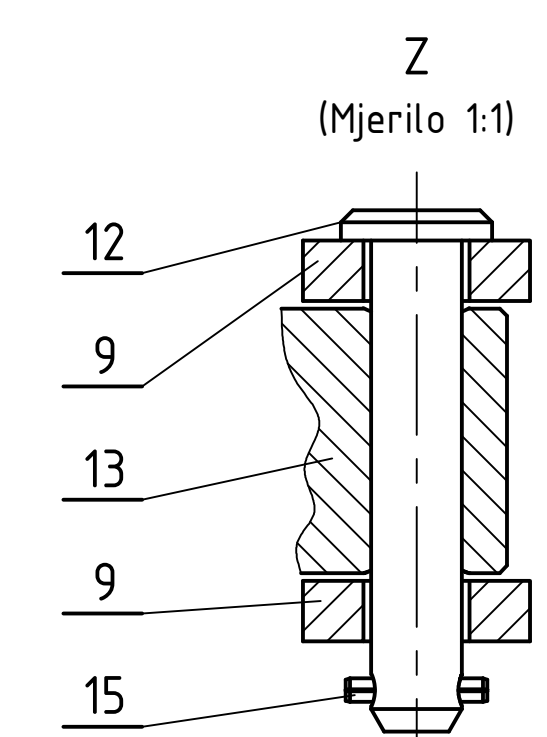
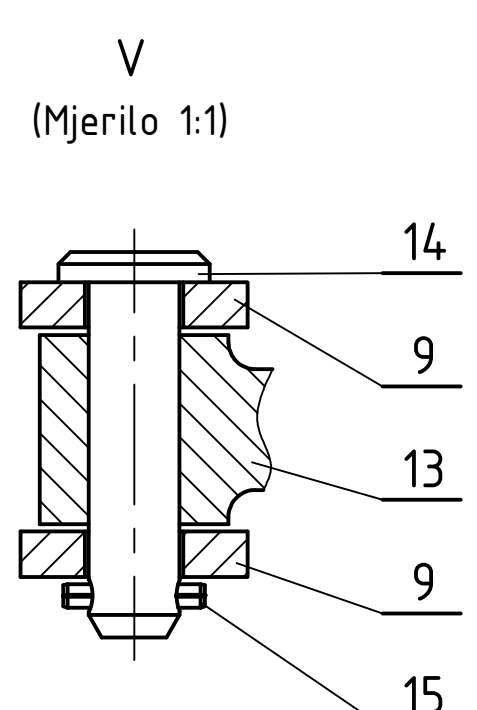
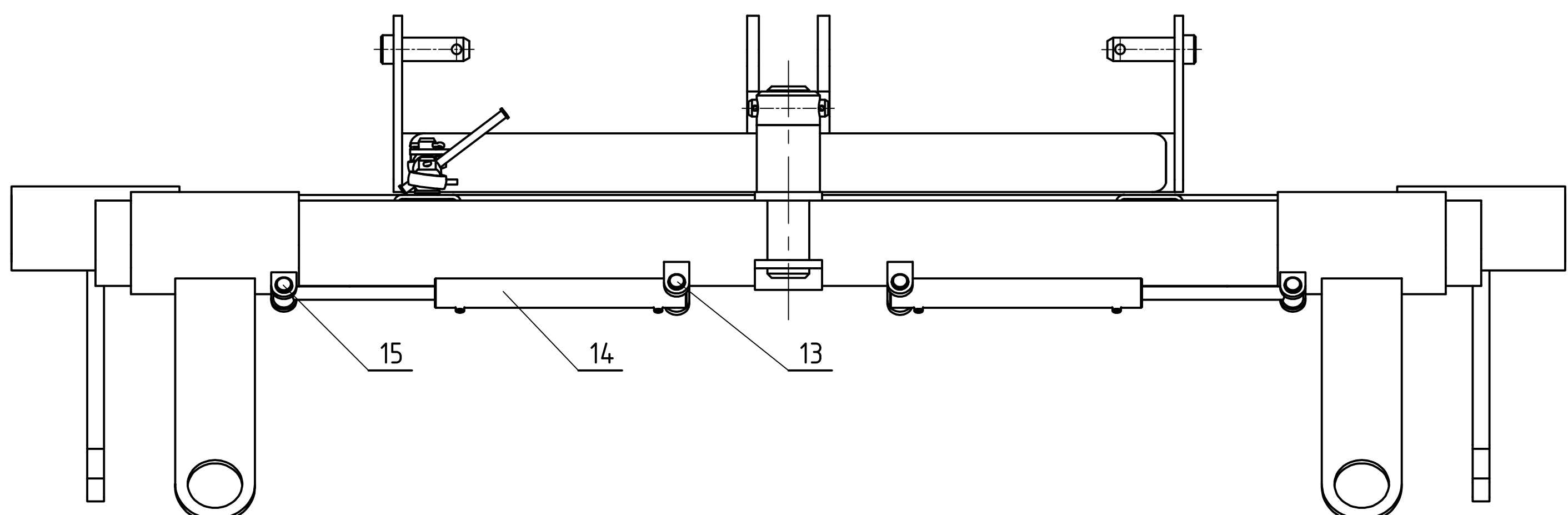
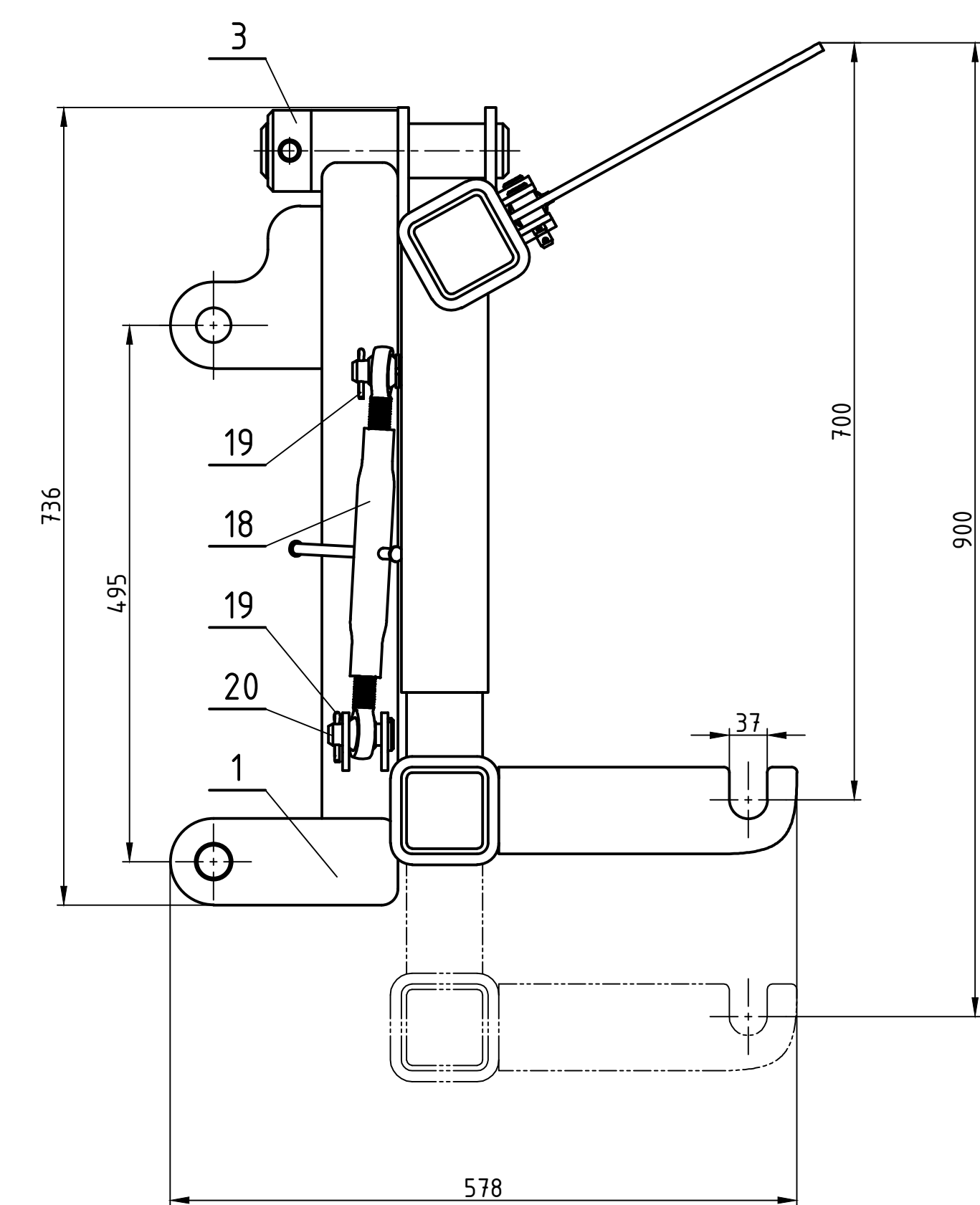
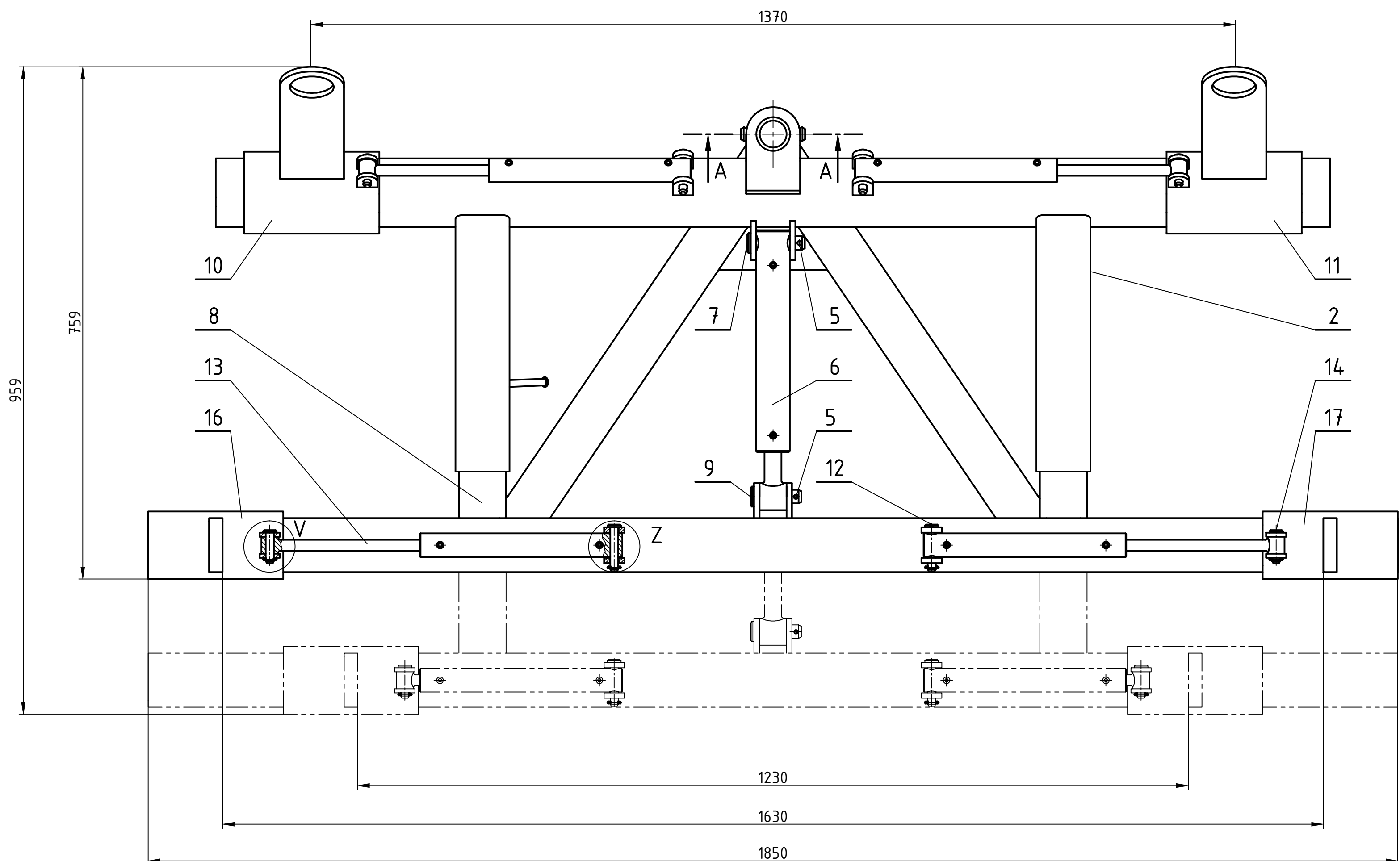
U ovom radu prikazana je posebna izvedba traktorskog viličara koja služi za brzu i efikasnu izmjenu sklopova na žitnim kombajnima. Analizom tržišta ustanovljeno je da na tržištu nema sličnih proizvoda što je posljedica razlike u obavljanju servisnih djelatnosti u razvijenim zemljama i zemljama sa nižim stupnjem tehnološke opremljenosti poljoprivrednika. U razvijenim zemljama kombajni prije sezone idu u servisne radionice na generalni pregled i pripremu za nadolazeće poslove. Na našem tržištu zbog lošijeg finansijskog stanja poljoprivrednika, kombajni se ne voze u servisne radionice nego se prema potrebi na terenu rastavljaju kako bi se moglo zamjeniti potrebne djelove. Kako su u pitanju velike mase djelova tako postoji i potreba za ovakvom napravom. Tijekom konstrukcije i razrade vođena je briga o djelatnicima koji će koristiti samu napravu te je ona konstruirana kako bi imala što manju masu i bila što jednostavnija za uporabu. Rezultat konstruiranja i razrade je prikazana naprava koju je jednostavno rastaviti na tri cjeline čije pojedinačne mase ne prelaze 35kg što znači da ih može prenositi jedan čovjek bez opasnosti za zdravlje. Također je važno napomenuti da postoji svega tri grupe pomičnih dijelova što znači da su rukovanje i održavanje maksimalno pojednostavljeni.

## **LITERATURA**

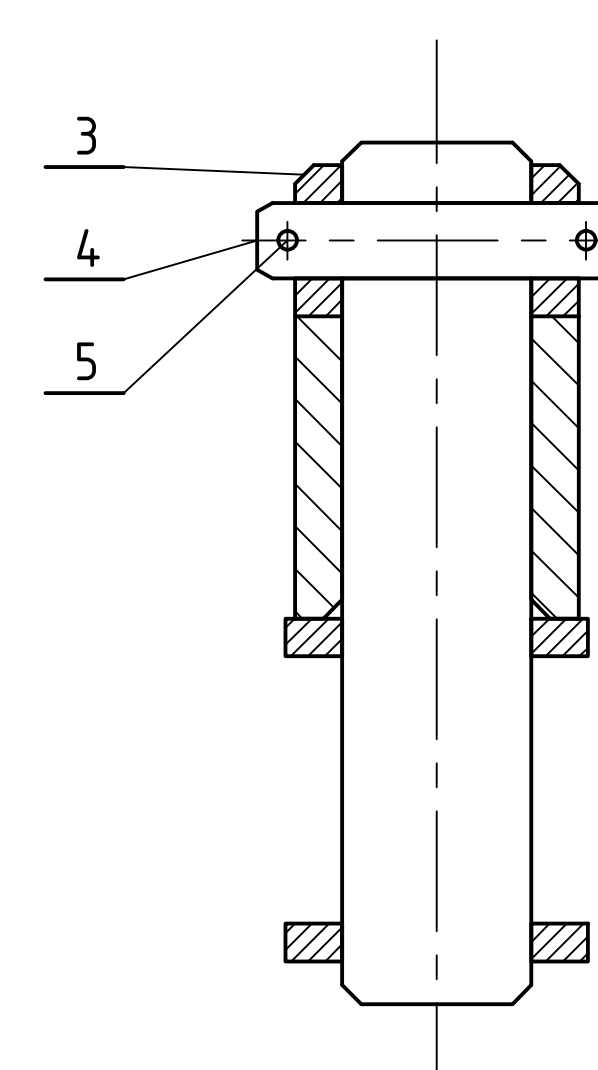
- [1] ASAE S217.12 DEC01, (ISO+730-1:1994) Three-Point Free-Link Attachment for Hitching Implements to Agricultural Wheel Tractors.
- [2] Ščap, D.: Prenosila i dizala, FSB, 1990.
- [3] Kraut, B.: Strojarski priručnik, Tehnička knjiga Zagreb, 1970.
- [4] Decker, K. H.: Elementi strojeva, Tehnička knjiga Zagreb, 1975.
- [5] Herold, Z.: Stezni i zavareni spoj, Zagreb, 1998.
- [6] EN 12525:2000+A2:2010

## **PRILOZI**

- I. CD-R disc
- II. Tehnička dokumentacija

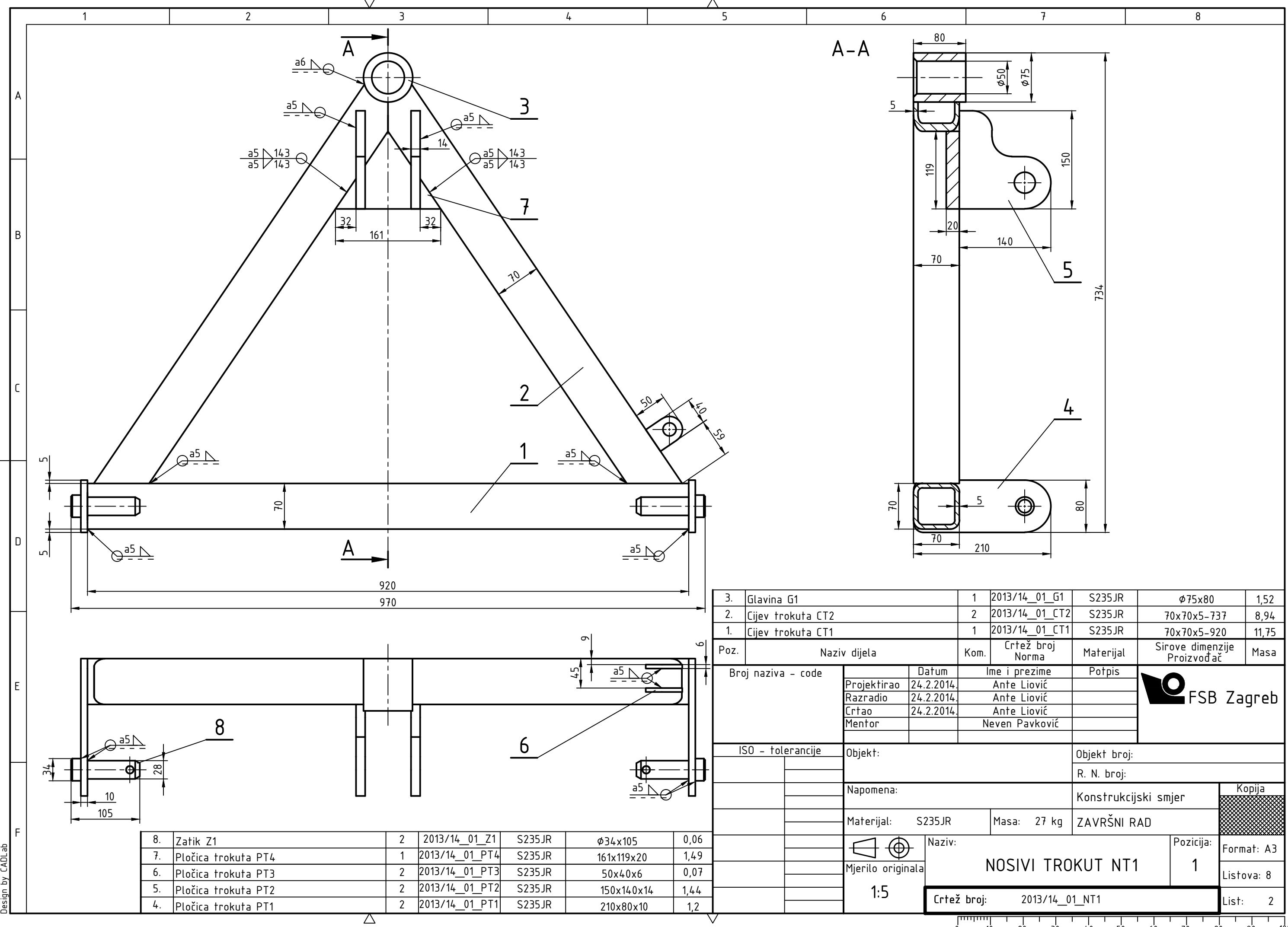


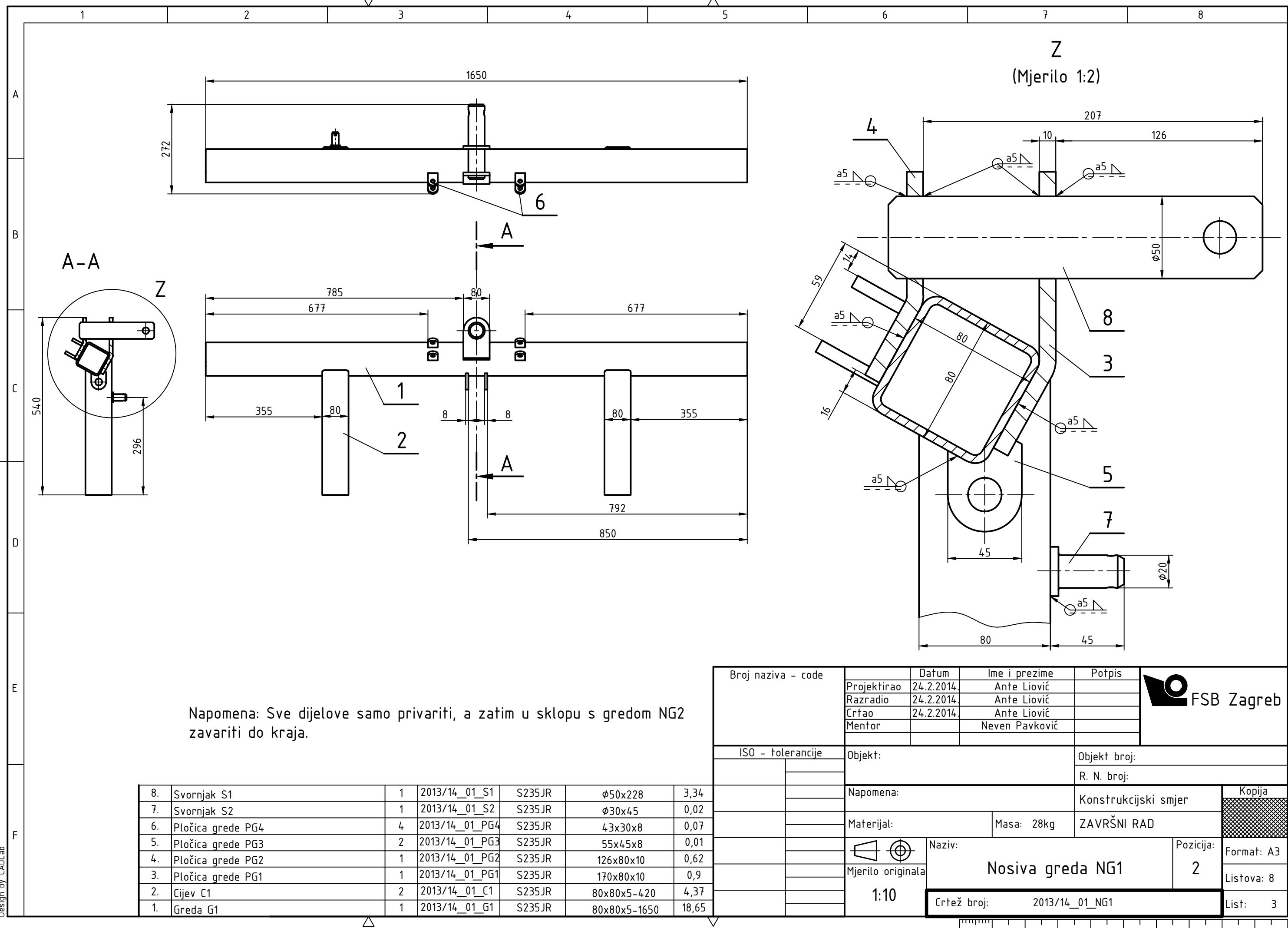
A-A  
(Mjerilo 1:2)



Poz.	Naziv dijela	Kom.	Crtež broj	Norma	Materijal	Sirove dimenzije	Proizvođač	Masa
20.	Svornjak $\varnothing 20 \times 55 \times 5$	1	ISO 2341B			$\varnothing 20 \times 55$	0,02	
19.	Rascjepka $\varnothing 5 \times 32$	2	DIN 94			$\varnothing 5 \times 32$	0,003	
18.	Tapljeni poluga 19/19 L-330-490 22X2,5	1				AMA	1,03	
17.	Klizač K4	1	2013/14_01_K4	St 37		375x200x100	8,32	
16.	Klizač K3	1	2013/14_01_K3	St 37		375x200x100	8,32	
15.	Zatik $\varnothing 3,5 \times 25$	8	ISO 8752			$\varnothing 3,5 \times 25$	0,001	
14.	Svornjak $\varnothing 12 \times 4 \times 5 \times 3,2$	4	ISO 2341B			$\varnothing 12 \times 4 \times 5$	0,02	
13.	Cilindar HRF0160200	4				Interfluid Hydraulics	1,00	
12.	Svornjak $\varnothing 12 \times 6 \times 3,2$	4	ISO 2341B			$\varnothing 12 \times 6 \times 3,2$	0,02	
11.	Klizač K2	1	2013/14_01_K2	St 37		425x200x100	6,96	
10.	Klizač K1	1	2013/14_01_K1	St 37		425x200x100	6,96	
9.	Svornjak $\varnothing 20 \times 70 \times 5$	1	ISO 2341B			$\varnothing 20 \times 70$	0,03	
8.	Nosiva greda NG2	1	2013/14_01_NG2	St 37		1850x4x30	25	
7.	Svornjak $\varnothing 20 \times 80 \times 5$	1	ISO 2341B			$\varnothing 20 \times 80$	0,03	
6.	Cilindar NFR250200	1				Interfluid Hydraulics	3,9	
5.	Zatik $\varnothing 5 \times 30$	4	ISO 8752			$\varnothing 5 \times 30$	0,003	
4.	Zatik $\varnothing 20 \times 95 \times 5$	1	ISO 2340B			$\varnothing 20 \times 95$	0,03	
3.	Prsten P1	1	2013/14_01_P1	St 37		$\varnothing 75 \times 6$	0,68	
2.	Nosiva greda NG1	2	2013/14_01_NG1	St 37		1650x272	28	
1.	Nosivi trokut	1	2013/14_01_NT1	St 37		970x734	27	
Projektirao: 25.2.2014. Ime i prezime: Ante Liović Potpis:								
Razradio: 25.2.2014. Ante Liović								
Crtao: 25.2.2014. Ante Liović								
Pregledao:								
ISO - tolerancije Objekt: Objekt broj:								
Napomena: Konstrukcijski smjer Kopija:								
Materijal: Masa: ≈120 kg ZAVRŠNI RAD Format: A1								
Mjerilo originala Naziv: VILIČAR ZA IZMJENU SKLOPOVA Pozicija: Format: A1								
Listova: 7 Listova: 1								
Crtež broj: 2013/14_01_SKL1 List: 1								

FSB Zagreb

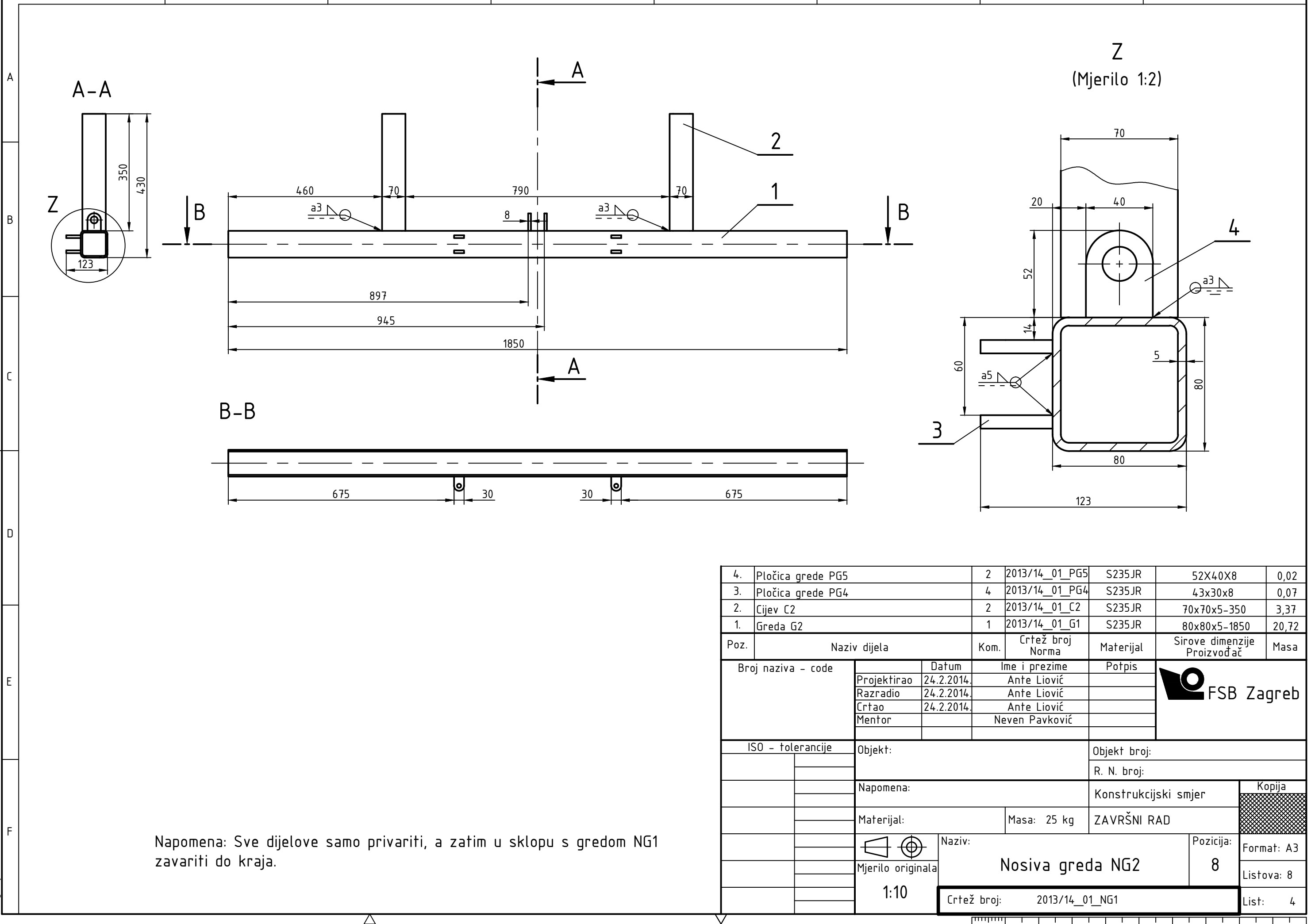




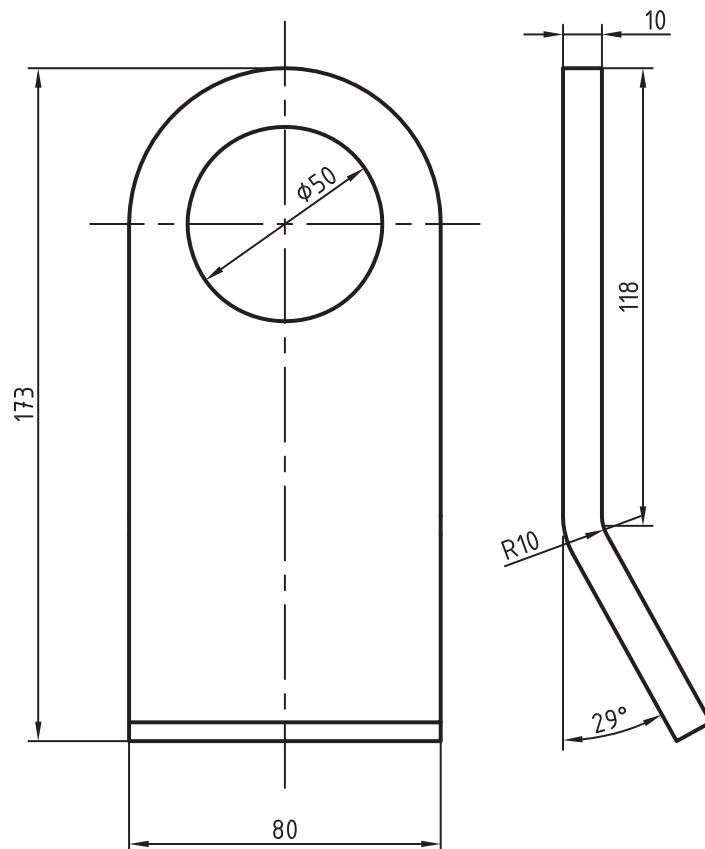
1 2 3 4 5 6 7 8

Z

(Mjerilo 1:2)

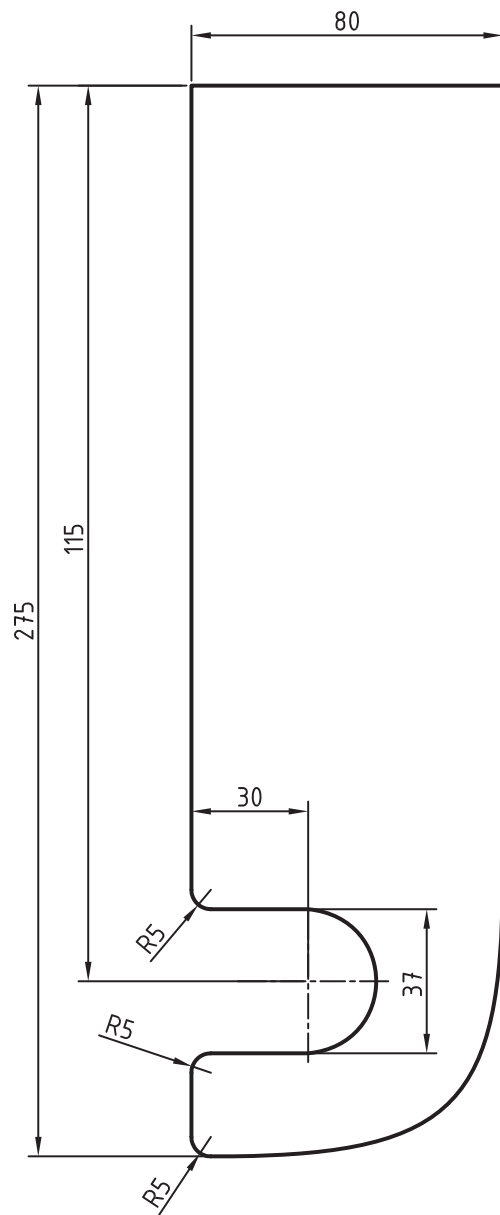


debljina  $t=10\text{mm}$



	Datum	Ime i prezime	Potpis
Projektirao	25.2.2014.	Ante Liović	
Razradio	25.2.2014.	Ante Liović	
Crtao	25.2.2014.	Ante Liović	
Mentor		Neven Pavković	
Objekt:		Objekt broj:	
		R. N. broj:	
Napomena:		Konstrukcijski smjer	Kopija
Materijal: St 37	Masa: 0,9 kg	ZAVRŠNI RAD	
	Naziv:		
Mjerilo originala		Pozicija:	
1:2	Pločica grede PG1		Format: A4
			Listova: 8
			List: 5

debljina  $t=20\text{mm}$

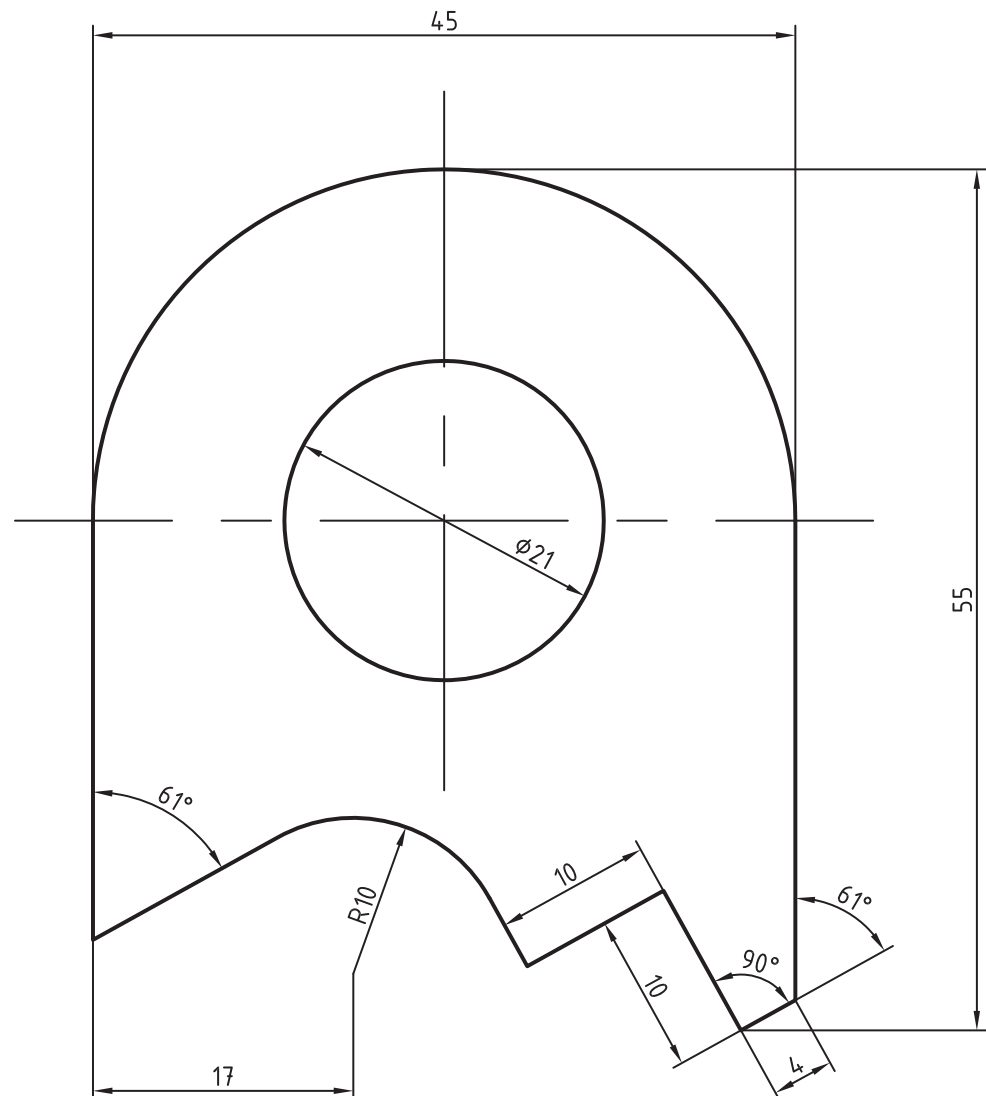


	Datum	Ime i prezime	Potpis
Projektirao	22.2.2014.	Ante Liović	
Razradio	25.2.2014.	Ante Liović	
Crtao	25.2.2014.	Ante Liović	
Mentor		Neven Pavković	
Objekt:		Objekt broj:	
		R. N. broj:	
Napomena:		Konstrukcijski smjer	Kopija
Materijal:	St 37	Masa: 3,1 kg	ZAVRŠNI RAD
	Naziv:	Pozicija:	
Mjerilo originala	Poluga P1		
1:2	Crtež broj:	2013/14_01_P1	List: 6

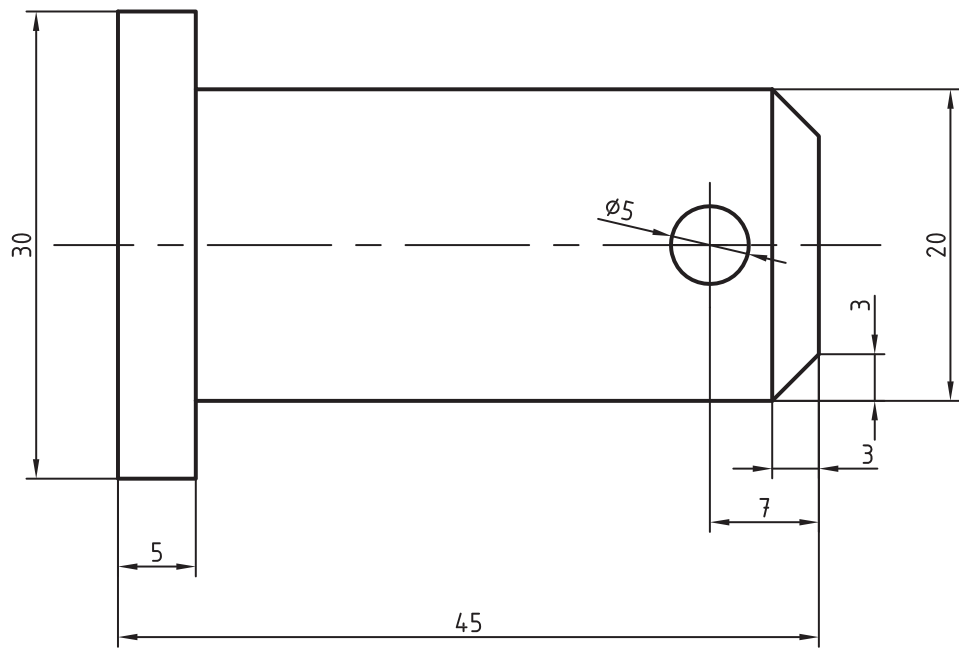


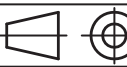
FSB Zagreb

debljina  $t=8\text{mm}$



	Datum	Ime i prezime	Potpis	 FSB Zagreb
Projektirao	25.2.2014.	Ante Liović		
Razradio	25.2.2014.	Ante Liović		
Crtao	25.2.2014.	Ante Liović		
Mentor		Neven Pavković		
Objekt:			Objekt broj:	
			R. N. broj:	
Napomena:			Konstrukcijski smjer	Kopija
Materijal:	St 37	Masa: 0,01 kg	ZAVRŠNI RAD	
	Naziv:		Pozicija:	
Mjerilo originala	Pločica grede PG3			Format: A4
2:1	Crtež broj: 2013/14_01_PG3			Listova: 8
				List: 7



	Datum	Ime i prezime	Potpis	 FSB Zagreb
Projektirao	25.2.2014.	Ante Liović		
Razradio	25.2.2014.	Ante Liović		
Crtao	25.2.2014.	Ante Liović		
Mentor		Neven Pavković		
Objekt:	Objekt broj:			
	R. N. broj:			
Napomena:	Konstrukcijski smjer			Kopija
Materijal: St 37	Masa: 0,01 kg	ZAVRŠNI RAD		
 Mjerilo originala	Naziv:  Svornjak S2	Pozicija:		Format: A4
2:1	Crtanje broj: 2013/14_01_S2			Listova: 8
				List: 8